

SVEUČILIŠTE U ZAGREBU  
FAKULTET ELEKTROTEHNIKE I RAČUNARSTVA

DIPLOMSKI RAD br. 2018

**Očitavanje rukom pisanih  
identifikacijskih brojeva temeljeno  
na dubokim modelima**

Tomislav Božurić

Zagreb, srpanj 2019.

*Umjesto ove stranice umetnite izvornik Vašeg rada.  
Da bi ste uklonili ovu stranicu obrišite naredbu \izvornik.*

*Zahvalio bih se obitelji na neizmjernoj potpori tijekom mog studija, mentoru doc.dr.sc. Marku Čupiću na korisnim savjetima i ukazanoj pomoći te kolegama koji su utrošili vrijeme na popunjavanje baze rukom pisanih identifikatora.*

# SADRŽAJ

<b>Popis slika</b>	<b>vi</b>
<b>1. Uvod</b>	<b>1</b>
<b>2. Pregled područja</b>	<b>2</b>
<b>3. Umjetne neuronske mreže</b>	<b>8</b>
3.1. Uvod . . . . .	8
3.2. Biološki i umjetni model neurona . . . . .	9
3.3. Arhitektura neuronskih mreža . . . . .	11
<b>4. Konvolucijske neuronske mreže</b>	<b>12</b>
4.1. Uvod . . . . .	12
4.2. Konvolucija nad višedimenzionalnim signalima . . . . .	14
4.3. Lokalne interakcije i dijeljenje parametara . . . . .	17
4.4. Sloj sažimanja . . . . .	19
<b>5. Obrada slike</b>	<b>21</b>
5.1. Pretvorba slike u sive nijanse . . . . .	21
5.1.1. Uprosječivanje . . . . .	21
5.1.2. Pобољшanje temeljeno na ljudskoj percepciji boja . . . . .	22
5.2. Binarizacija . . . . .	22
5.2.1. Otsuova metoda binarizacija . . . . .	22
5.3. Dilatacija . . . . .	25
5.3.1. Primjer . . . . .	25
5.4. Stanjivanje . . . . .	26
5.5. Interpolacija . . . . .	28
5.6. Translacija . . . . .	29
5.7. Pronalazak povezanih komponenti . . . . .	29

5.7.1. Primjer rada algoritma . . . . .	32
<b>6. Izgrađeni sustav</b>	<b>35</b>
<b>7. Rezultati</b>	<b>44</b>
<b>8. Zaključak</b>	<b>47</b>
<b>Literatura</b>	<b>48</b>

# POPIS SLIKA

2.1. Osnovni linearni klasifikator (preuzeto iz Lecun et al. (1995)) . . . . .	3
2.2. Prikaz potpornih vektora i decizijske ravnine kod SVM-a (preuzeto iz Lecun et al. (1995)) . . . . .	6
2.3. Primjer lokalizacije na temelju vjerojatnosne distribucije na izlazu klasifikatora (preuzeto iz Yang (2018)) . . . . .	7
3.1. Usporedba modela biološkog i umjetnog neurona (preuzeto iz Karpathy (2019)) . . . . .	9
3.2. Prikaz najpoznatijih aktivacijskih funkcija . . . . .	10
3.3. Potpuno povezana neuronska mreža s dva skrivena sloja . . . . .	11
4.1. Usporedba obične i konvolucijske neuronske mreže . . . . .	12
4.2. Primjer arhitekture konvolucijskog modela . . . . .	13
4.3. Ulazni diskretni signali $x(t)$ i $h(t)$ . . . . .	13
4.4. Rezultat konvolucije $x(t) * h(t)$ . . . . .	14
4.5. Konvolucija 2D ulaza i jezgre (preuzeto iz Goodfellow et al. (2016)) .	16
4.6. Vizualizacija konvolucije filtera 3x3 na ulaznu sliku (lijevo) i dobivanje mape značajki (desno) . . . . .	17
4.7. Prikaz lokalne interakcije kod konvolucijskih mreža i interakcije kod potpuno povezane mreže gledano odozdo. Sivom bojom označen je ulazni neuron $x_3$ i izlazni neuroni $s$ na koje utječe označeni ulazni neuron. <i>Gore</i> : Kada $s$ dobivamo konvolucijom s jezgrom širine 3, samo tri izlaza ovise o ulazu $x$ . <i>Dolje</i> : Kada $s$ promatramo u potpuno povezanom sloju, povezanost više nije rijetka, te su svi izlazi ovisni o ulaznom neuronu $x_3$ (preuzeto iz Goodfellow et al. (2016)). . . . .	17

4.8.	Prikaz lokalne interakcije kod konvolucijskih mreža i interakcije kod potpuno povezane mreže gledano odozgo. Sivom bojom označen je jedan izlazni neuron $s_3$ i ulazni neuroni u $x$ koji utječu na taj izlazni neuron. Ti neuroni su poznati pod nazivom <b>receptivno polje</b> (engl. <i>receptive field</i> ) od $s_3$ . <i>Gore</i> : Kada je $s$ dobiven konvolucijom s jezgrom širine 3, samo tri ulaza utječu na $s_3$ . <i>Dolje</i> : Kada je $s$ dobiven matričnim množenjem, odnosno kada imamo potpuno povezani sloj, možemo primijetiti kako svi ulazni neuroni utječu na jedan neuron u idućem sloju, odnosno nemamo rijetku povezanost (preuzeto iz Goodfellow et al. (2016)). . . . .	18
4.9.	Ulazna mapa značajki (lijevo) i rezultat djelovanja funkcije sažimanja (desno) temeljene na maksimalnoj vrijednosti koristeći jezgru 2x2 i korak (engl. <i>stride</i> ) 2 . . . . .	19
4.10.	Prikaz sažimanja koristeći maksimalnu vrijednost (engl. <i>max-pooling</i> ). Širina kernela na slici je 3 a korak je 2. Tako smanjujemo reprezentaciju za faktor 2, a samim time i reduciramo računski i statistički teret u idućem sloju (preuzeto iz Goodfellow et al. (2016)). . . . .	20
5.1.	Prikaz određivanja praga binarizacije koristeći maksimizaciju varijance između razreda (preuzeto iz Otsu's method (2019)) . . . . .	24
5.2.	Primjer stanjivanja otiska prsta (preuzeto iz Jared Gerschler (2018)) . . . . .	26
5.3.	Prikaz interpolacije metodom najbližeg susjeda (preuzeto iz Interpolation (2019)) . . . . .	28
5.4.	Prikaz slikovnih elemenata koji se razmatraju prilikom pronalaska povezanih komponenti . . . . .	30
5.5.	Povezane komponente označene različitim labelama . . . . .	31
5.6.	Binarna slika za demonstraciju pronalaska povezanih komponenti . . . . .	32
5.7.	Primjer slikovnog elementa (3, 4) koji povezuje različito labelirane komponente . . . . .	33
5.8.	Labele nakon prvog prolaza algoritma . . . . .	33
5.9.	Pronađene povezane komponente . . . . .	34
6.1.	Arhitektura izgrađenog konvolucijskog modela . . . . .	36
6.2.	Vrijednost funkcije gubitka kroz iteracije . . . . .	37
6.3.	Stope učenja kroz iteracije . . . . .	37
6.4.	Prikaz glavnog ekrana aplikacije . . . . .	39
6.5.	Primjer rada podsustava za pronalaženje i razrješavanje sumnjivih okvira . . . . .	42

6.6. Uređivanje postojećeg graničnog okvira . . . . .	43
6.7. Tok obrade ulazne slike kroz izgrađeni sustav . . . . .	43
7.1. Primjer pogrešaka prilikom segmentacije i klasifikacije . . . . .	45



# 1. Uvod

Očitavanjem rukom pisanih identifikacijskih (cijelih) brojeva bavili su se mnogi radovi od kraja 90-ih godina do danas. Tada je fokus bio na samoj klasifikaciji pojedinačnih brojeva, no u ovome radu zadatak uključuje lokalizaciju i klasifikaciju rukom napisanih identifikatora. Za razliku od skeniranog teksta (teksta napisanog na računalu) javlja se dodatan problem specifičnosti rukopisa pojedine osobe. Tako kod rješavanja problema moramo imati na umu da neke osobe brojeve pišu izduženo, neke nakošeno, neke sitnijim fontom dok druge većim. Tako možemo nastaviti nabrajati do u nedogled različite specifičnosti pojedinog rukopisa. Zbog toga je potrebno napraviti model koji će se moći nositi s navedenim problemima. Potrebno je izgraditi model koji će kvalitetno generalizirati, odnosno koji će imati veliku generalizacijsku moć, a neće biti pristran pojedinom rukopisu. Iz navedenog razloga bit će potrebno sakupiti dovoljno veliku bazu rukom pisanih identifikatora od više različitih osoba.

U posljednjih nekoliko godina duboko učenje postaje sve popularnije. Jedan od glavnih razloga tome jest porast računalne moći, konkretno grafičkih procesnih jedinica (engl. *Graphics processing unit*) odnosno grafičkih kartica. Također, stvaranje velikih baza podataka omogućilo je robusnije učenje takvih mreža za specifične zadatke. Zbog vrlo dobrih rezultata dubokih neuronskih mreža na sličnim klasifikacijskim problemima duboki modeli su se nametnuli kao logičan izbor u ovome radu.

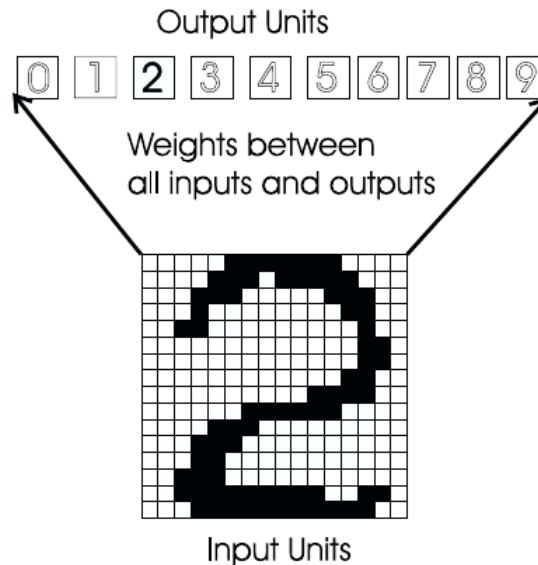
Kroz ovaj rad pokazat će se sustav s grafičkim korisničkim sučeljem (engl. *Graphical User Interface*) koji problem očitavanja rukom pisanih identifikatora rješava kroz četiri faze koje su detaljno opisane u nastavku ovoga rada. Na samome početku ulazna slika se procesira odnosno obrađuje (obavlja se pretvorba u sive nijanse, odvajanje prednjeg plana od pozadine tj. binarizacija, dilatacija, stanjivanje, centriranje metodom centra mase i interpolacija). Takva slika se predaje algoritmu koji traži spojene konture na slici odnosno lokacije pojedinih brojeva koji se naposljetku klasificiraju. Sve to je omogućeno kroz intuitivno i jednostavno grafičko korisničko sučelje koje korisniku omogućava na vrlo efikasan način označavanje tako rukom napisanih brojeva.

## 2. Pregled područja

Znanstveni članci koji se bave klasifikacijom rukom pisanih znamenaka počinju davati rezultate vrijedne pažnje samim krajem 80-ih godina prošlog stoljeća. Tijekom razvoja sustava za klasificiranje rukom pisanih brojeva kroz povijest nastajale su razne baze podataka koje su korištene za ispitivanje kvalitete odnosno točnosti pojedinog sustava. Prva korištena baza podataka sastojala se od 1200 znamenki, poznatija kao "AT&T". Baza se sastojala od 10 primjeraka svake znamenke od 12 različitih autora. Najčešće su znamenke od prvih 6 autora pripadale skupu za učenje, dok znamenke od preostalih 6 autora su pripadale skupu za testiranje odnosno validaciju. Zatim je nastala baza rukom pisanih poštanskih brojeva koja se sastojala od 7064 znamenke za treniranje i 2007 znamenaka za testiranje. Glavni nedostatak ovih baza jest vrlo mali skup za učenje i testiranje. U svrhu boljeg vrednovanja modela, nastala je baza znamenaka NIST. Glavni problem te baze je bio što su podaci iz skupa za učenje i skupa za testiranje bili iz potpuno različitih distribucija. Modifikacijom baze rukom pisanih brojeva NIST, nastala je danas najpoznatija baza imena MNIST, što dolazi od *Modified* NIST. Originalno se testni skup NIST sastojao od 58527 slika znamenki napisanih od 500 različitih autora. Skup za ispitivanje NIST je podijeljen na primjerke od prvih 250 autora i dodan u novi skup za treniranje, dok su znamenke preostalih 250 autora dodane u skup za testiranje. Tako smo dobili otprilike 30000 znamenki u svakom od skupova. Novi skup za treniranje i testiranje nadopunjen je sa znamenkama iz prethodnog skupa za treniranje iz baze brojeva NIST. Najčešće se koristi 10000 znamenki za testiranje, dok se cijeli skup od 60000 znamenki koristi za treniranje.

Vrlo zanimljiv članak LeCun et al. (1995) uspoređuje klasifikatore koji su korišteni u brojnim do tada objavljenim znanstvenim člancima i koji su davali zapažljive rezultate. U nastavku slijedi kratak opis klasifikatora koji su se koristili u svrhu rješavanja navedenog zadatka (više detalja dostupno u citiranom članku). Cilj odlomka jest vrlo sažeto prikazati kakve su razne pristupe ljudi pokušavali kako bi dobili što kvalitetnije rezultate. Detaljniji opis s referencama na konkretne radove može se pronaći u detaljnijoj verziji prethodnog članka Lecun et al. (1995).

Prvi od klasifikatora koji se pojavljuje jest *osnovni linearni klasifikator* (engl. *Baseline Linear Classifier*). Kao ulaz u klasifikator korištene su znamenke dimenzija 20x20. Svaka vrijednost ulaznog slikovnog elementa (engl. *pixel*) je sudjelovala u težinskoj sumi za svaku izlaznu jedinicu. Mreža je imala 4010 parametara (dodatnih 10 parametara su vezani za pristranost (engl. *bias*)) i klasifikator je postigao grešku na ispitnome skupu MNIST od 8.4%.



**Slika 2.1:** Osnovni linearni klasifikator (preuzeto iz Lecun et al. (1995))

Slijedi klasifikator *K najbližih susjeda* (engl. *Baseline Nearest Neighbor Classifier*) koji kao mjeru udaljenosti koristi Euklidsku udaljenost ulaznih slika. Njegova prednost jest što nema vrijeme učenja, niti je potrebno smišljati arhitekturu mreže. No, glavni mu je nedostatak što svih 60000 slika dimenzija 20x20 moraju biti u memoriji tijekom izvođenja kako bismo za neku ulaznu sliku pronašli kojoj slici odnosno znamenci je ta slika najbliža po Euklidskoj udaljenosti. Greška na testnome skupu MNIST za  $k = 3$  je bila 2.4%. Inače, realističnija Euklidska udaljenost najbližeg susjeda bih se računala nad vektorom značajki, a ne direktno nad slikovnim elementima, no zbog usporedbe svih klasifikatora koji barataju direktno nad slikovnim elementima autor ovog rada odabrao je ovakav način usporedbe.

*Linearni klasifikator baziran na parovima* (engl. *Pairwise Linear Classifier*) je jednostavno poboljšanje prvog osnovnog modela jednostavnog linearnog klasifikatora. Ideja je bila da se svaki neuron jednoslojne mreže trenira da klasificira jednu klasu naspram ostalih. Odnosno u konkretnome radu, taj sloj je sadržavao 45 neurona labeliranih kao 0/1, 0/2,...,0/9,...8/9. Neuron  $i/j$  je treniran da na izlazu daje +1 za uzorke klase  $i$ , a

–1 za uzorke klase  $j$ . Pokazalo se da je rezultat nešto bolji nego s običnim linearnim klasifikatorom, greška je bila 7.6% na spomenutom skupu.

*Metodom osnovnih komponenti i polinomijalnim klasifikatorom* (engl. *Principal Component Analysis and Polynomial Classifier*) uvedeno je predprocesiranje odnosno faza u kojoj se računa projekcija ulaznog uzorka na 40 glavnih komponenti koje predstavljaju ulazni uzorak. 40-dimenzionalni vektor je bio korišten kao ulaz u polinomijalni klasifikator drugog reda. Na testnome skupu postigao je grešku od 3.3%.

*Mreža radijalnih baznih funkcija* (engl. *Radial Basis Function Network-RBF*) sastojala se od 1000 Gaussovih RBF neurona s 400 ulaza (slika dimenzija 20x20) te je drugi sloj bio jednostavan linearni klasifikator 1000→10. Specifičnosti oko treniranja mogu se pronaći u navedenoj literaturi. Mreža je postigla grešku na testnome skupu od 3.6%.

*Potpuno povezana višeslojna neuronska mreža* (engl. *Fully Connected Multi-Layer Neural Network*) s jednim skrivenim slojem trenirana je s različitim brojem neurona u skrivenom sloju. Najbolji postignuti rezultat je dobiven s mrežom 400 – 300 – 10, koja je imala 123300 težina. Dobivena greška na testnome skupu bila je 1.6%. Tada je bilo misteriozno kako mreža s tako (tada) velikim brojem težina postiže tako malu grešku na ispitnome skupu. Pretpostavljali su da učenje gradijentnim spustom u višeslojnim mrežama ima efekt samo-regularizacije.

Kako bi razriješili dilemu oko malih mreža koje nemaju dovoljno kapaciteta da nauče klasificirati skup za učenje i velikih mreža koje su preparametrizirane, dizajnirana je "specijalna" mreža imena *LaNet1* za prepoznavanje dvo-dimenzionalnih oblika kao što su znamenke, koja eliminira irelevantne distorzije i varijabilnosti. Ta razmatranja dovode nas do danas vrlo popularnih **konvolucijskih mreža** LeCun et al. (1990), koje će biti detaljnije opisane u idućem poglavlju. Spomenimo kako dijeljenje težina u slojevima znatno smanjuje broj skrivenih parametara. Cijela mreža je formirana od više konvolucijskih slojeva, koji ekstrahiraju značajke rastuće kompleksnosti i apstrakcije. Mreža je učena *backpropagation* algoritmom, te su za razliku od prethodnih klasifikatora ulazne slike reducirane na veličinu 16x16 te su zatim centrirane na dimenzije 28x28 i prosljeđene ulaznom sloju. Mreža je imala samo 3000 slobodnih parametara, te je postigla rezultat od 1.7% na ispitnome skupu MNIST . 1990. godine mreža ove arhitekture je bila *state-of-the-art* mreža za klasifikaciju rukom pisanih brojeva.

Eksperimentima nad *LaNet 1* mrežom postalo je jasno da je potrebna konvolucijska mreža većeg kapaciteta da bi mogla kvalitetnije naučiti klasificirati uzorke iz skupa za učenje. *LaNet 4* je "proširena" verzija *LaNet1* mreže. Ulazni sloj je bio dimenzija 32x32, a uzorci su centrirani u slike 20x20 metodom centra mase, koja je detaljnije opisana u poglavlju obrade slike. Mreža je sadržavala više mapi značajki, dodatan

skriveni sloj i potpuno povezani sloj. Mreža je imala 260000 konekcija i 17000 slobodnih parametara. Postignuti rezultat na testnome skupu bio je 1.1%.

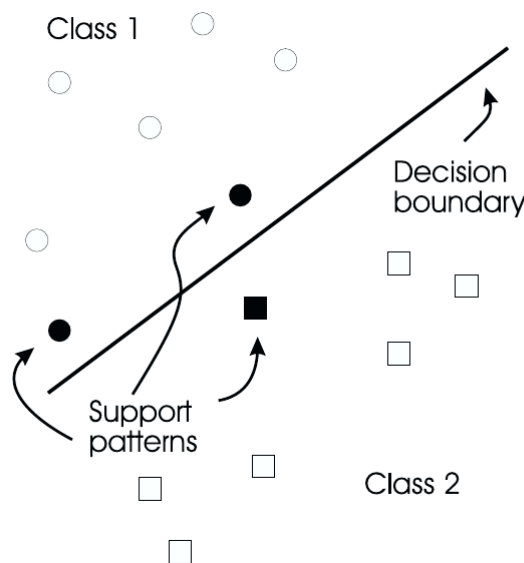
Mreža imena *LaNet 5* imala je sličnu arhitekturu kao *LaNet 4*, no imala je više mapiranih značajki, veći potpuno povezani sloj i drugačije je kodirala znamenke izlaznog sloja. Mreža je imala 340000 konekcija i 60000 slobodnih parametara, te je postigla grešku na ispitnome skupu od 0.9%. Faza učenja uključivala je dodatan modul koji je uvodio distorziju na ulazne slike koristeći slučajno izabranu afinu transformaciju (pomak, skaliranje, rotacija i iskrivljavanje). Možemo primijetiti kako su povećanjem kapaciteta mreža dobiveni sve bolji i bolji rezultati, no treba imati na umu da mreža prevelikog kapaciteta može dovesti do prenaučenosti mreže.

Poboljšana verzija *LaNet 4* mreže imena *Boosted LaNet 4* se sastojala od kombinacije 3 takve mreže. Prva mreža je učena klasičnim načinom, druga je učena nad filtriranim uzorcima prve mreže tako da druga mreža vidi kombinaciju uzoraka. Konkretno, 50% uzoraka koje je prva mreža dobro klasificirala i 50% uzoraka na kojima je prva mreža pogriješila. Konačno, treća mreža je trenirana na novim uzorcima na kojima se nisu slagale prva i druga mreža. Kako je greška na skupu za učenje mreže *LaNet 4* bila vrlo mala, bilo je potrebno povećati broj uzoraka za treniranje s nasumičnom distorzijom koristeći affine transformacije (kao kod *LaNet 5* mreže) kako bi dobili dovoljan broj uzoraka za treniranje druge i treće mreže. Takve transformacije za povećavanje skupa za učenje odnosno testiranje popularne su i danas, te se često koriste kada nam je dostupan mali skup uzoraka za učenje i/ili validaciju. U konačnici, ova mreža je postigla grešku 0.7% na ispitnome skupu. Očigledno jest da je vrijeme učenja ove mreže daleko veće nego kod *LaNet 4* mreže. Pokazalo se da je trošak uvođenja tri mreže 1.75 puta veći nego kada smo koristili samo jednu mrežu. Ako je prva mreža s visokom pouzdanošću tvrdila da ulazni uzorak pripada nekoj od klasa brojeva, iduće dvije mreže nisu se niti razmatrale, pa se tako reducirao očekivani ukupni trošak.

Memorijski baziran klasifikator imena *Tangent Distance Classifier - TDC* temelji se na metodi najbližih susjeda. Kao i kod klasičnog klasifikatora koji se temelji na metodi najbližih susjeda, testni uzorci se uspoređuju s labeliranim uzorcima iz skupa za učenje. Klasa uzorka u skupu za učenje koji je "najbliže" ispitnome uzorku inicira klasu testnog uzorka. Ključno pitanje se postavlja što znači "blizu" u kontekstu uzoraka sa znamenkama. U naivnome pristupu, klasifikator koji se temelji na najbližim susjedima koristi Euklidsku udaljenost kod koje neporavnatost između inače "identičnih" slika može dovesti do velike udaljenosti. Ovaj klasifikator koristi mjeru udaljenosti koja je otporna na male distorzije, uključujući varijacije u debljini konture, translaciju, rotaciju, skaliranje i slično. Na testnome skupu MNIST klasifikator je imao 1.1% po-

grešku.

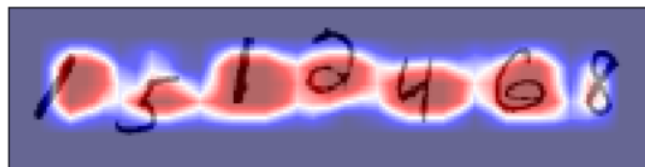
Klasifikator imena *Optimal Margin Classifier* - OMC možemo poistovjetiti sa strojem s potpornim vektorima (engl. *Support Vector Machine*) Boser i et al. (1992) s mekim marginama Cortes i Vapnik (1995). Osnovna ideja SVM-a jest konstrukcija hiperravnine kao decizijske plohe ali tako da je margina odvajanja između "pozitivne" i "negativne" skupine uzorka (za učenje) maksimalna. Takva hiperravnina za koju je margina odvajanja maksimalna se naziva optimalna hiperravnina, te odatle izvorni naziv klasifikatora. Rezultirajuća arhitektura SVM-a se može promatrati kao dvoslojna neuronska mreža u kojoj su težine neurona prvog sloja potporni vektori koji računaju skalarni produkt između ulaza i njihovih težina. Za razliku od ostalih klasifikatora koji su postigli visoke performanse na skupu za ispitivanje, OMC ne uključuje *a priori* znanje o problemu. No, i dalje je bio mnogo sporiji i trebao je više memorije za razliku od konvolucijskih mreža. Na tesnome skupu MNIST ovaj klasifikator je postigao grešku od 1.1%.



**Slika 2.2:** Prikaz potpornih vektora i decizijske ravnine kod SVM-a (preuzeto iz Lecun et al. (1995))

Pokazalo se da, kada je dostupno mnogo uzoraka, mnoge metode mogu postići respektabilnu točnost. Iako treba primijetiti da neuronske mreže zahtijevaju relativno veliko vrijeme učenja, jednom kada se istreniraju zaključivanje provode mnogo brže i zahtijevaju puno manje memorije nego tehnike bazirane na memoriji. Trenutno najbolji rezultat na skupu uzoraka MNIST postignut jest konvolucijskom neuronskom

mrežom i iznosi 0.23% Ciregan et al. (2012). Kasnijih godina isprobavani su razni pristupi s konvolucijskim mrežama, SVM-om, klasifikatorom temeljenom na najbližim susjedima itd. Mreže su postajale sve kompleksnije, imale su sve veći kapacitet i moć učenja te danas daju jako dobre rezultate, dok je vrijeme učenja neusporedivo manje. Zanimljiv članak Abo Samra i Khalefah (2014) koji govori o lokalizaciji registarskih oznaka koristeći tehnike procesiranja slike i genetske algoritme, na temelju analize povezanih komponenti pronalazi povezane objekte na samoj slici, a samim time i povezane alfanumeričke znakove unutar registarskih oznaka. Upravo metoda traženja povezanih komponenti je implementirana u ovome radu i davala je vrlo dobre rezultate. U članku Yang (2018) su iskoristili činjenicu da njihov klasifikator producira vjerojatnosnu distribuciju na izlazu. Zapazili su da kada ulaz sadrži znamenku, klasifikator producira distribuciju s malom entropijom i visokom pouzdanošću ispravne klase. S druge strane, kada ulaz ne sadrži znamenku, klasifikator producira gotovo uniformnu distribuciju. Tu činjenicu koriste za lokalizaciju znamenaka na slici. Sličnom idejom temeljenoj na entropiji i zbunjenosti modela izgrađeni klasifikator se koristi za detekciju potencijalno pogrešno označenih ili klasificiranih graničnih okvira. Više detalja nalazi se u poglavlju o izgrađenom sustavu.



**Slika 2.3:** Primjer lokalizacije na temelju vjerojatnosne distribucije na izlazu klasifikatora (preuzeto iz Yang (2018))

## 3. Umjetne neuronske mreže

### 3.1. Uvod

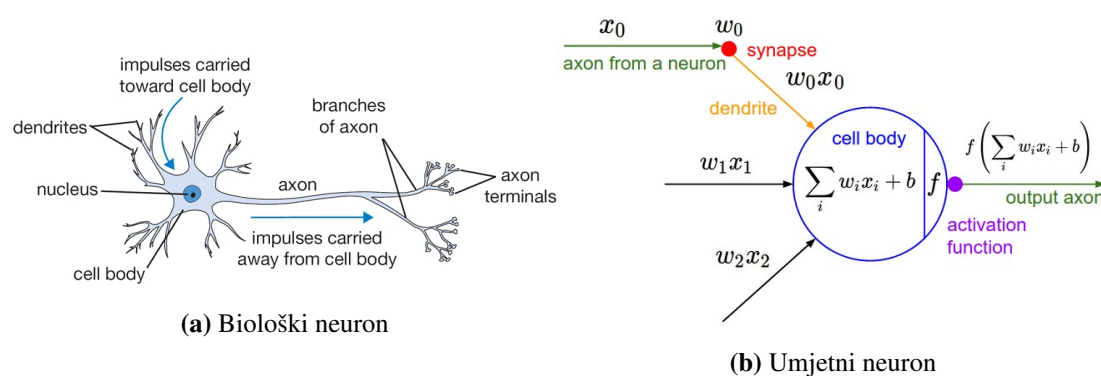
Područje neuronskih mreža prvenstveno je inspirirano modeliranjem bioloških neuronskih sustava. Definiraju se i grade jednostavne procesne jedinice (umjetni neuroni) koje se potom povezuju u paralelne strukture različitih arhitektura poznate kao umjetne neuronske mreže (engl. *Artificial Neural Networks*). Takav pristup poznat je još pod nazivom *konektivistički pristup*, koji je prirodan za masovno raspodijeljeno i paralelno računanje. Neuronske mreže tijekom rada prolaze kroz dvije faze: *fazu učenja* i *fazu iskorištavanja*. Tijekom faze učenja neuronskoj mreži na ulazu se predočavaju uzorci iz skupa za učenje i uslijed toga dolazi do promjena težina, odnosno do promjena jakosti između veza neurona koji čine neuronsku mrežu. Samo učenje neuronske mreže može biti pojedinačno ili grupno. Poznate su i često korištene takozvane mini-grupe (engl. *mini-batches*), koje se nalaze negdje između pojedinačnog i grupnog učenja. Kod *pojedinačnog učenja* (engl. *on-line learning*) neuronska mreža uči nakon svakog predodenog uzorka, dok kod *grupnog učenja* (engl. *batch learning*) neuronska mreža uči tek kada vidi čitav skup uzoraka za učenje.

Razlikujemo i podjelu načina učenja neuronske mreže. Neuronska mreža može *učiti s učiteljem* (nadzirano učenje) (engl. *supervised learning*), *učiti podržano* (engl. *reinforcement learning*) te *učiti bez učitelja* (nenadzirano) (engl. *unsupervised learning*) gdje želimo grupirati uzorke u određene grupe (engl. *clustering*). U ovome radu koristi se nadzirano učenje, gdje se na ulaz konvolucijske mreže dovode ulazne slike i željeni izlazi. Mreža na ulaz dobiva uzorke oblika  $\{(slika\ zamenke, \text{željeni izlaz}), \dots, (slika\ zamenke, \text{željeni izlaz})\}$ , koji se "dovode" u mini-grupama što je detaljno opisano u poglavlju implementacije.



## 3.2. Biološki i umjetni model neurona

Osnovna procesna jedinica mozga jest neuron. U ljudskom živčanom sustavu možemo naći približno 86 milijardi neurona koji su povezani s približno  $10^{14}$  -  $10^{15}$  sinapsi (engl. *synapses*). Svaki od neurona prima ulazne signale preko dendrita (engl. *dendrites*) i generira izlazni signal duž aksona (engl. *axon*). Akson se na kraju grana i povezuje preko sinapsa s dendritima drugih neurona. U umjetnome modelu signali koji putuju duž aksona  $x_0$  se množe s dendritima drugog neurona ( $x_0 w_0$ ) na temelju jačine sinapse  $w_0$ . Osnovna ideja jest da jakost sinapse se može mijenjati odnosno učiti tijekom vremena i tako možemo kontrolirati utjecaj same veze. Povećanjem težine dajemo vezi veći utjecaj, analogno vrijedi za smanjenje težine  $w$ . U osnovnom modelu dendriti prenose signale do tijela stanice gdje se svi signali zbrajaju. Dakle, tijelo stanice umjetnog neurona modelira integriranje svih primljenih pobuda u jedan zajednički potencijal stanice.

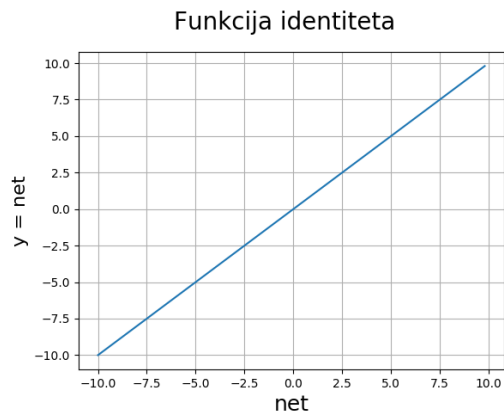


**Slika 3.1:** Usporedba modela biološkog i umjetnog neurona (preuzeto iz Karpathy (2019))

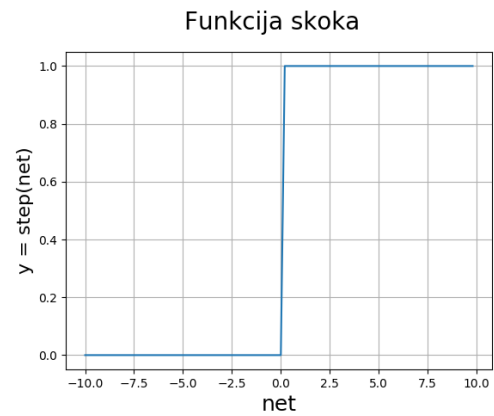
Akson umjetnog neurona na slici 3.1b prikazan je kao prijenosna funkcija (engl. *transfer function*) koja modelira prolaz signala kroz akson biološkog neurona. Općeniti izlaz umjetnog neurona možemo prikazati kao:

$$output = f\left(\sum_{i=0}^n w_i x_i + b\right). \quad (3.1)$$

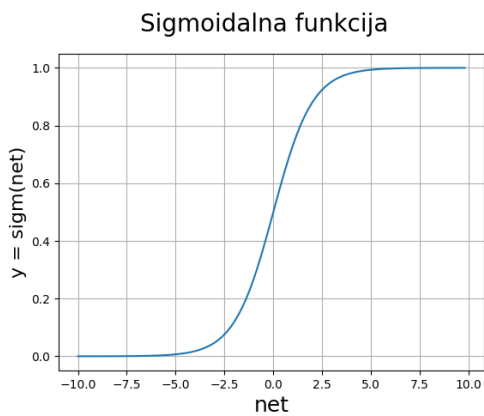
Povijesno gledano, uobičajeni izbor aktivacijske funkcije je sigmoidalna funkcija  $\sigma$  koja uzima vrijednost izlaza iz tijela stanice i skalira ga u rasponu od 0 do 1. Kroz povijest koristile su se mnoge prijenosne funkcije poput navedene sigmoidalne funkcije, funkcije identiteta, funkcije skoka i funkcije tangens hiperbolni. Razvojem dubokog učenja, u posljednjih nekoliko godina sve više se koriste ispravljena linearna funkcija (ReLU) (engl. *Rectified Linear Unit*), slabo-ispravljena linearna funkcija (Leaky ReLu) (engl. *Leaky Rectified Linear Unit*) i *maxout* neuroni.



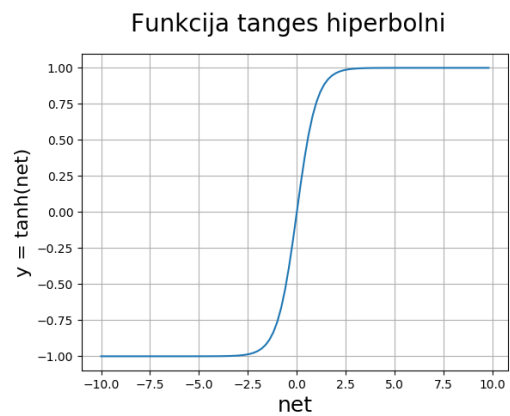
(a) Funkcija identiteta  $f(net) = net$



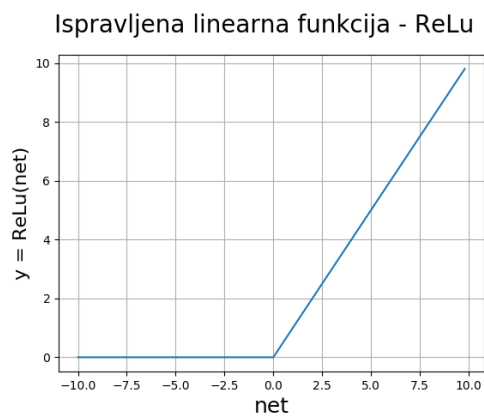
(b) Funkcija skoka  $f(net) = \begin{cases} 0, & net < 0 \\ 1, & net \geq 0 \end{cases}$



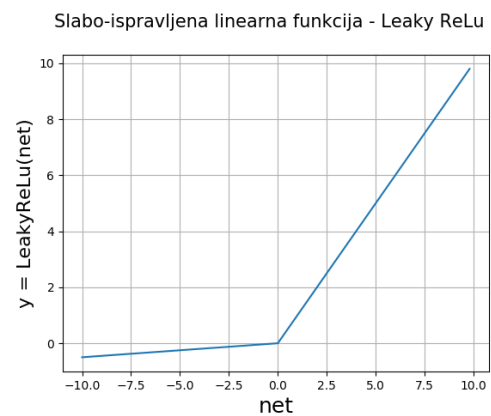
(c) Sigmoidalna funkcija  $f(net) = \frac{1}{1+e^{-net}}$



(d) Funkcija tangens hiperbolni  $f(net) = \tanh(net)$



(e) ReLu funkcija  $f(net) = \begin{cases} 0, & net < 0 \\ net, & net \geq 0 \end{cases}$



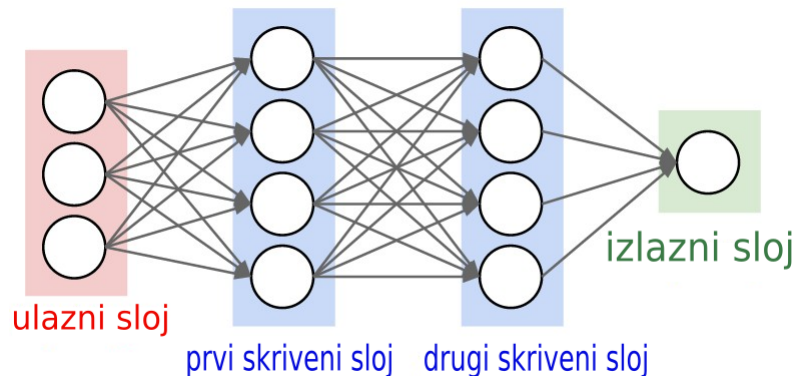
(f) Leaky ReLu funkcija,  $a = 0.1$   
 $f(net) = \begin{cases} a \cdot net, & net < 0 \\ net, & net \geq 0 \end{cases}$

**Slika 3.2:** Prikaz najpoznatijih aktivacijskih funkcija

Svaka od navedenih funkcija ima određenih prednosti i mana prilikom učenja mreža što i potiče istraživanje prikladnih aktivacijskih funkcija. Na slici 3.2 *net* označava izlazni signal iz tijela stanice prije djelovanja aktivacijske funkcije.

### 3.3. Arhitektura neuronskih mreža

Neuronske mreže su modelirane kao kolekcije neurona koji su povezani u acikličkom grafu u slojevitoj arhitekturi. Drugim riječima, izlazi nekih neurona mogu postati ulazi za druge neurone. Ciklusi nisu dozvoljeni jer bi to impliciralo beskonačnu petlju u unaprijednom prolazu kroz mrežu. Za klasične neuronske mreže najčešće korišteni tip sloja jest potpuno povezani sloj (engl. *fully-connected layer*) u kojem neuroni između dva susjedna sloja su potpuno po parovima povezani. Skup potpuno povezanih slojeva čini potpuno povezanu neuronsku mrežu (engl. *fully-connected neural network*). Na slici možemo vidjeti potpuno povezanu neuronsku mrežu s 3 ulaza, dva skrivena sloja pri čemu u svakom od skrivenih slojeva imamo 4 neurona te jednim izlaznim neuronom. Mreža ima  $[3 \times 4] + [4 \times 4] + [4 \times 1] = 32$  težine i  $4 + 4 + 1 = 9$  pristranosti (engl. *bias*).

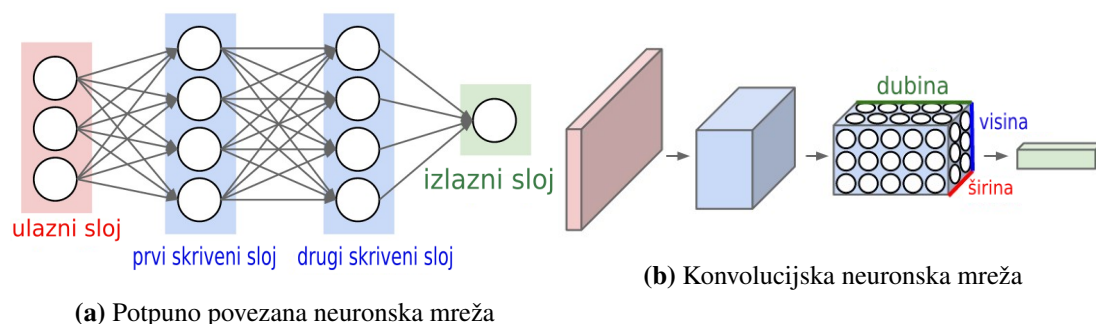


**Slika 3.3:** Potpuno povezana neuronska mreža s dva skrivena sloja

## 4. Konvolucijske neuronske mreže

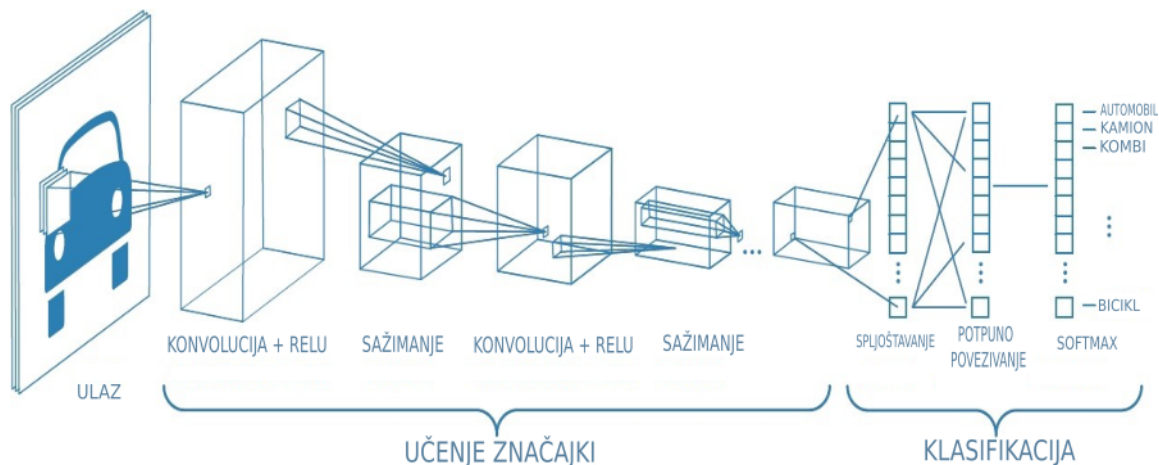
### 4.1. Uvod

Konvolucijske neuronske mreže slične su običnim neuronskim mrežama, također se sastoje od neurona koji imaju težine i pristranosti koje se mogu učiti. Za razliku od običnih neuronskih mreža konvolucijske neuronske mreže čine eksplicitnu pretpostavku da su na ulazu slike, što nam omogućuje da kodiramo određene značajke u arhitekturu same mreže, odnosno ograničavaju arhitekturu na mnogo smisleniji način. Te pretpostavke nam omogućuju znatno smanjenje količine parametara same mreže, a samim time i veću vremensku efikasnost postupka učenja. Konkretno, za razliku od neuronskih mreža, konvolucijske neuronske mreže imaju neurone raspoređene u tri prostorne dimenzije: širinu, visinu i dubinu (gdje se dubina u ovome kontekstu ne odnosi na ukupan broj slojeva mreže nego na treću dimenziju tenzora). Sami duboki modeli imaju šansu naučiti značajke koji reagiraju na određene dijelove nama interesantnog objekta.



**Slika 4.1:** Usporedba obične i konvolucijske neuronske mreže

Specifičnost konvolucijskih modela jest da su transformacije lokalne, odnosno izlaz ovisi o lokalnom susjedstvu slikovnog elementa ulaza. Propuštanjem ulazne slike kroz konvolucijski model vršimo transformaciju trodimenzionalnih (3D) tenzora. U nastavku slijedi pregled klasične strukture takvih modela te kratak opis pojedinih slojeva koji su tipični kod konvolucijskih modela.



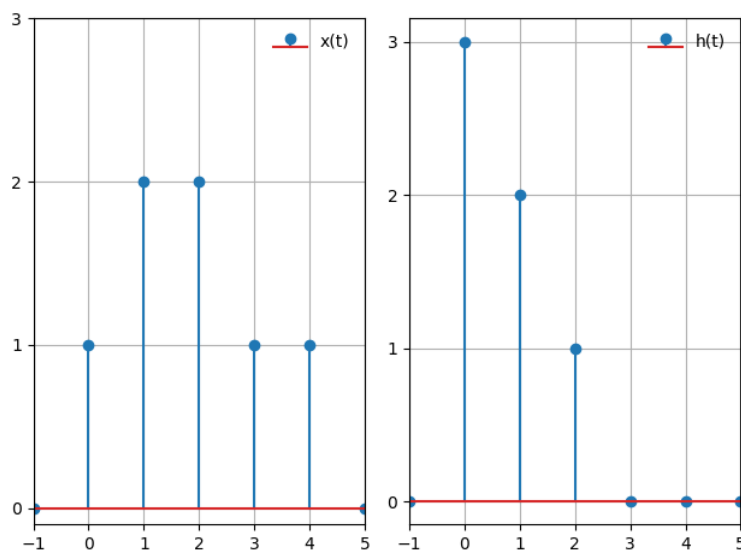
**Slika 4.2:** Primjer arhitekture konvolucijskog modela

Prvi od slojeva je konvolucijski sloj koji ekstrahira značajke iz ulazne slike. U najopćenitijem obliku, konvolucija jest operacija nad dvije funkcije s realnim domenama, koja daje modificiranu verziju jedne od dviju ulaznih (originalnih) funkcija.

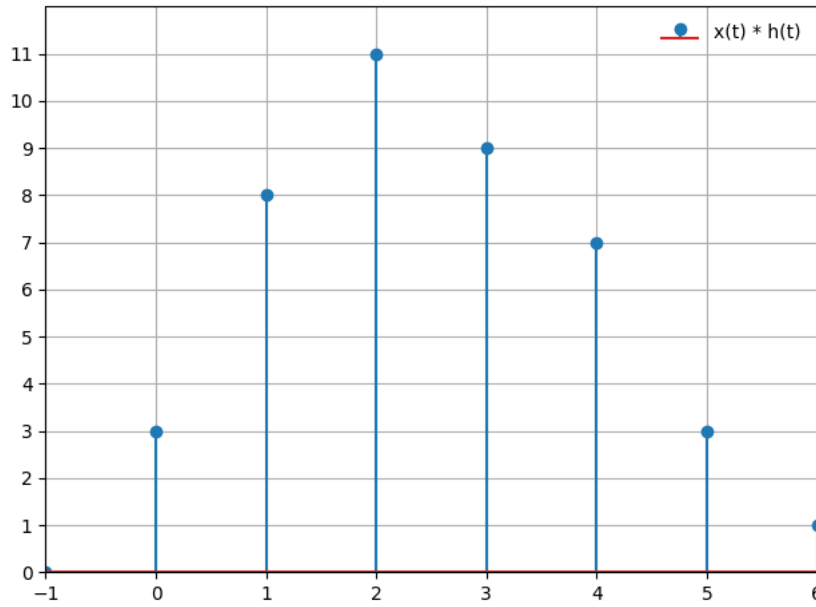
**Definicija 4.1.1.** Neka su  $x(t)$  i  $h(t)$  vremenski diskretne funkcije. **Konvolucija** funkcija  $x$  i  $h$  je definirana kao:

$$y(t) = \sum_{\tau=-\infty}^{\infty} x(\tau)h(t - \tau), \quad (4.1)$$

te je kratko označavamo s  $x(t) * h(t)$ .



**Slika 4.3:** Ulazni diskretni signali  $x(t)$  i  $h(t)$



**Slika 4.4:** Rezultat konvolucije  $x(t) * h(t)$

**Definicija 4.1.2.** Neka su  $x(t)$  i  $h(t)$  vremenski neprekidne funkcije. **Konvolucija** funkcija  $x$  i  $h$  je definirana kao:

$$y(t) = \int_{\tau=-\infty}^{\infty} x(\tau)h(t - \tau)d\tau, \quad (4.2)$$

te je kratko označavamo s  $x(t) * h(t)$ .

## 4.2. Konvolucija nad višedimenzionalnim signalima

Očito jest da crno-bijelu fotografiju (monokromatsku fotografiju) - dimenzija  $N \times M$  koja ima jedan ton možemo prikazati kao 2D signal njezinih prostornih koordinata.

$$x(n_H, n_W), 0 \leq n_H \leq M - 1, 0 \leq n_W \leq N - 1, \quad (4.3)$$

gdje su  $n_H$  i  $n_W$  diskretne prostorne koordinate na osima, a  $x(n_H, n_W)$  predstavlja intenzitet slikovnog elementa na istoj diskretnoj prostornoj koordinati. Vrijednost koje poprima funkcija dvije varijable kreću se u intervalu  $[0, 255]$ . Slike koje se koriste kao ulaz u implementiranu konvolucijsku mrežu su binarne, odnosno poprimaju vrijednost intenziteta iz skupa  $\{0, 255\}$  odnosno  $\{0, 1\}$ .

Promatramo li sliku s crvenim, zelenim i plavim kanalom (RGB) odnosno sliku dimenzija  $N \times M \times 3$ , signal možemo prikazati kao vektor 2D signala.

$$x(n_H, n_W) = [x_R(n_H, n_W), x_G(n_H, n_W), x_B(n_H, n_W)]$$

$$0 \leq n_H \leq M - 1, 0 \leq n_W \leq N - 1,$$

gdje  $x_R, x_G, x_B$  označavaju intenzitet slikovnog elementa s obzirom na slijedno crveni, zeleni i plavi kanal.

**Definicija 4.2.1.** Konvoluciju 2D slike  $x(n_H, n_W)$ , dimenzija  $N \times M$ , s 2D filterom  $h(n_H, n_W)$  definiramo kao:

$$y(n_H, n_W) = (x * h)(n_H, n_W) = \sum_{k=0}^{M-1} \sum_{l=0}^{N-1} x(k, l) h(n_H - k, n_W - l), \quad (4.4)$$

gdje je  $0 \leq n_H \leq M - 1, 0 \leq n_W \leq N - 1$ .

Konvolucija je komutativna pa možemo pisati:

$$y(n_H, n_W) = (x * h)(n_H, n_W) = \sum_{k=0}^{M-1} \sum_{l=0}^{N-1} x(n_H - k, n_W - l) h(k, l). \quad (4.5)$$

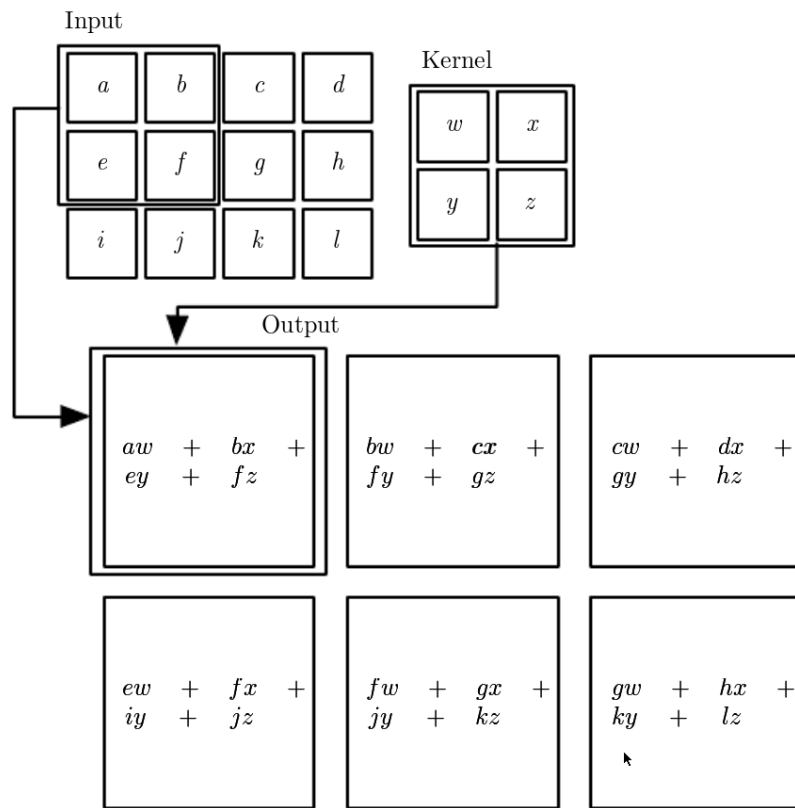
U praksi komutativnost konvolucije nije važna, pa u primjenama koristimo kros-korelaciju (engl. *cross-correlation*) odnosno unakrsnu korelaciju:

$$y(n_H, n_W) = (x * h)(n_H, n_W) = \sum_{k=0}^{M-1} \sum_{l=0}^{N-1} x(n_H + k, n_W + l) h(k, l). \quad (4.6)$$

Očigledno jest da u konkretnoj primjeni nam je svejedno na kojim će pozicijama algoritam naučiti vrijednosti jezgre. Ako koristimo klasičnu konvoluciju naučit ćemo iste vrijednosti kao i kada koristimo unakrsnu korelaciju, samo na obrnutim mjestima.

Prilikom razmatranja konvolucijskih neuronskih mreža, prvi argument konvolucije najčešće je ulazni uzorak a drugi argument je filter odnosno jezgra (engl. *kernel*). Izlaz takve konvolucije nazivamo **mapa značajki** (engl. *feature map*). Također, svaki element ulaznog uzorka i jezgre pohranjujemo zasebno, pa su vrijednosti funkcija u svim točkama nula osim u konačno mnogo točaka čije vrijednosti pohranjujemo. Konkretno, pretpostavljamo da je domena ulaza i jezgre konačan skup, tj. da su funkcije  $x$  i  $h$  izvan domene jednake 0. U primjenama su obično  $x$  i  $h$  višedimenzionalne funkcije  $x(t), h(t) \in \mathbb{R}^d$ .

Konvolucija čuva odnos između slikovnih elemenata učenjem značajki slike. U kontekstu konvolucijskih mreža, konvolucijom smatramo matematičku operaciju koja dobiva dva ulaza, matricu slike i filter odnosno jezgru (engl. *kernel*). Konvolucijom

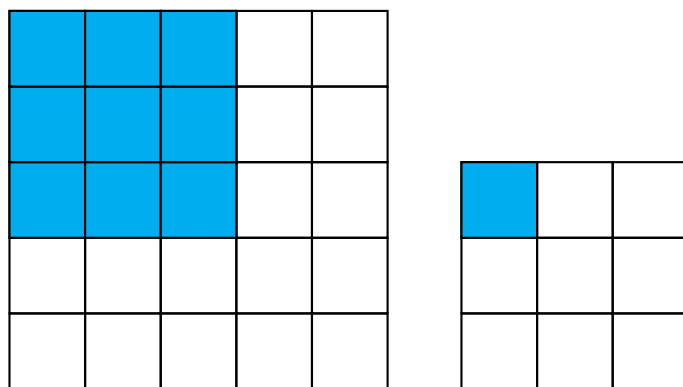


**Slika 4.5:** Konvolucija 2D ulaza i jezgre  
(preuzeto iz Goodfellow et al. (2016))

slike s različitim filterima možemo vršiti operacije kao što su detekcija rubova, zamučivanje, izoštravanje i slično, te postoje poznati filteri koji se koriste u te svrhe.

Na slici 4.5 možemo primijetiti kako konvolucija modelira lokalne interakcije i dijeli parametre. Elementi izlazne mape značajki (označimo je sa  $M^l$ ) ovise o lokalnom susjedstvu elemenata ulazne mape značajki  $M^{l-1}$  te se svi elementi mape značajki računaju pomoću istog skupa parametara (engl. *shared weights*). Samo dijeljenje parametara ima više prednosti, osim što imamo znatno manji broj parametara dobivamo reprezentaciju ekvivariantnu s obzirom na pomak.

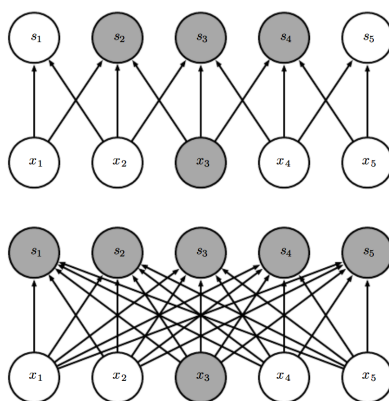




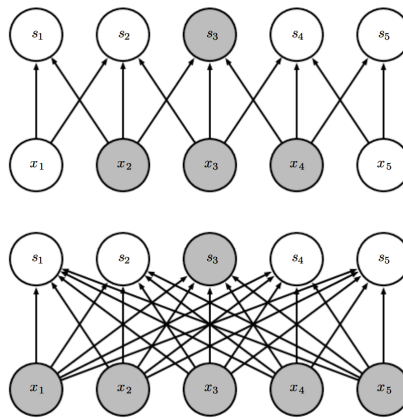
**Slika 4.6:** Vizualizacija konvolucije filtera 3x3 na ulaznu sliku (lijevo) i dobivanje mape značajki (desno)

### 4.3. Lokalne interakcije i dijeljenje parametara

Ranije je spomenuto da konvolucijom modeliramo samo lokalne interakcije. U ovom poglavlju daje se detaljniji osvrt na lokalne interakcije kod konvolucijskih mreža a zatim i na dijeljenje parametara. Kod potpuno povezanog sloja svaki izlaz je povezan sa svim ulazima, dok kod konvolucije imamo povezanost samo s malim dijelom ulaza. Lokalna interakcija postiže se izborom filtera manjih dimenzija od samog ulaza. Tako dobivamo manje parametara (težina), manje potrebne memorije i manje potrebnih računskih operacija.



**Slika 4.7:** Prikaz lokalne interakcije kod konvolucijskih mreža i interakcije kod potpuno povezane mreže gledano odozdo. Sivom bojom označen je ulazni neuron  $x_3$  i izlazni neuroni  $s$  na koje utječe označeni ulazni neuron. *Gore:* Kada  $s$  dobivamo konvolucijom s jezgrom širine 3, samo tri izlaza ovise o ulazu  $x$ . *Dolje:* Kada  $s$  promatramo u potpuno povezanom sloju, povezanost više nije rijetka, te su svi izlazi ovisni o ulaznom neuronu  $x_3$  (preuzeto iz Goodfellow et al. (2016)).



**Slika 4.8:** Prikaz lokalne interakcije kod konvolucijskih mreža i interakcije kod potpuno povezane mreže gledano odozgo. Sivom bojom označen je jedan izlazni neuron  $s_3$  i ulazni neuroni u  $x$  koji utječu na taj izlazni neuron. Ti neuroni su poznati pod nazivom **receptivno polje** (engl. *receptive field*) od  $s_3$ . *Gore:* Kada je  $s$  dobiven konvolucijom s jezgrom širine 3, samo tri ulaza utječu na  $s_3$ . *Dolje:* Kada je  $s$  dobiven matričnim množenjem, odnosno kada imamo potpuno povezani sloj, možemo primijetiti kako svi ulazni neuroni utječu na jedan neuron u idućem sloju, odnosno nemamo rijetku povezanost (preuzeto iz Goodfellow et al. (2016)).

Receptivnim poljem značajke podrazumijevamo skup svih elemenata ulaznog sloja koje mogu utjecati na tu značajku, te je očito da ono raste s dubinom mreže.

Za razliku od potpuno povezanih slojeva (mreža) glavna prednost jest da je potrebno naučiti manje parametara s istom količinom označenih podataka. Neka je  $m$  broj ulaza a  $n$  broj izlaza. Imamo li potpuno povezane slojeve odnosno matrično množenje zahtjeva  $m \times n$  parametara te algoritam za svaki uzorak ima složenost  $\mathcal{O}(m \cdot n)$ . Ako ograničimo broj konekcija, pri čemu s  $k$  označimo širinu jezgre ( $k \ll m$ ), algoritam ima  $k \times n$  parametara i složenost  $\mathcal{O}(k \cdot n)$  (ovdje razmatramo samo lokalnost, a zanemarujemo dijeljenje parametara gdje se broj parametara još smanjuje). Dakle imamo bržu evaluaciju  $\mathcal{O}(m \cdot n)$  vs.  $\mathcal{O}(k \cdot n)$ .

Kod dijeljenja parametara umjesto učenja odvojenog skupa parametara za svaki od  $n$  izlaza, svi izlazi dijele jedan te isti skup parametara. Svaka težina unutar filtera odnosno jezgre koristi se iznova na svakoj novoj poziciji ulazne aktivacijske mape (engl. *feature map*). Dobivamo još manji model od samo  $k$  parametara koji je teže prenaučiti. Samim time imamo bolju statističku efikasnost modela, dok je računaska složenost evaluacija kao i kod modela koji samo ima lokalne interakcije  $\mathcal{O}(k \cdot n)$ . Dijeljenje parametara jednostavno možemo predočiti slikom 4.5.

## 4.4. Sloj sažimanja

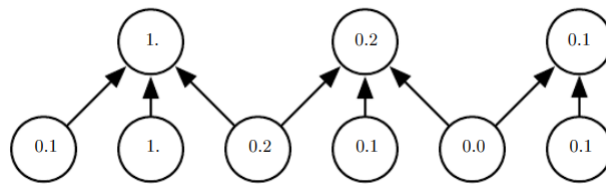
Funkcija sažimanja (engl. *pooling function*) mapira skup prostorno bliskih značajki na ulazu u jednu značajku na izlazu. Dakle, funkcije sažimanja reduciraju značajno broj parametara odnosno dimenzionalnost pojedine mape, no bitne (reprezentativne) informacije ostaju očuvane. Najčešće se računa statistički pokazatelj ulaznih značajki, primjerice prosječna ili maksimalna vrijednost. Ponekad se koristi i suma ulaznih značajki. Sažimanje nam je korisno kada tenzor prevodimo u simboličku kategoriju. Neki od tipova slojeva sažimanja koji se koriste su: *sažimanje maksimalnom vrijednosti*, *sažimanje srednjom vrijednosti*, *sažimanje L2 normom*, *sažimanje težinskim usrednjavanjem* i slično. Primjer sažimanja maksimalnom vrijednošću dan je u nastavku.

1	1	2	4
5	6	7	8
3	2	1	0
1	2	3	4

6	8
3	4

**Slika 4.9:** Ulazna mapa značajki (lijevo) i rezultat djelovanja funkcije sažimanja (desno) temeljene na maksimalnoj vrijednosti koristeći jezgru 2x2 i korak (engl. *stride*) 2

Sažimanje nam pomaže dobiti reprezentaciju koja je približno invarijantna na male translacije u ulazu. Invarijantnost na pomak znači da ako translatiramo malo ulaz, vrijednosti većine sažetih izlaza se ne mijenjaju. To svojstvo je vrlo korisno jer tako se fokusiramo na pitanje postoji li određena značajka, a ne gdje se točno nalazi. Primjerice, želimo li odrediti sadrži li slika lice, ne moramo znati striktno točnu lokaciju očiju, jedino nam je bitno da se jedno oko nalazi na lijevoj strani a drugo na desnoj strani. Povećanje invarijantnosti na pomak možemo matematički definirati kao  $f(x)$  je invarijantna s obzirom na  $g$  ako vrijedi  $f(g(x)) = f(x)$ . Veličina regije sažimanja regulira i dozu invarijantnosti, odnosno imamo li veće regije dobivamo veću invarijantnost na pomake. Sažimanje analogno možemo obaviti i preko različitih mapa značajki, tada mreža može naučiti invarijantnost i na druge transformacije kao što su rotacija i skaliranje. Tipično prilikom primjene, sažimanje provodimo bez preklapanja ulaza. Svaku od (disjunktnih) regija sažimamo u jednu značajku nepromijenjene semantičke dimenzionalnosti. Samim time mapu značajki smanjujemo  $k$  puta, gdje je  $k$  veličina regije.



**Slika 4.10:** Prikaz sažimanja koristeći maksimalnu vrijednost (engl. *max-pooling*). Širina kernela na slici je 3 a korak je 2. Tako smanjujemo reprezentaciju za faktor 2, a samim time i reduciramo računski i statistički teret u idućem sloju (preuzeto iz Goodfellow et al. (2016)).

Uporabom sažimanja i konvolucija ugrađujemo pretpostavke u naš konvolucijski duboki model. Konvolucijom dobivamo interakcije koje su lokalne s obzirom na topologiju odnosno pretpostavljamo topologiju podataka i imamo predikciju kovarijantnu s pomakom. S druge strane sažimanjem dobivamo predikciju invarijantnu na male pomake. U praksi se pokazalo kako te pretpostavke ne dovode do podnaučenosti modela te da konvolucijski modeli bolje generaliziraju od potpuno povezanih modela iako u teoriji povećanje pristranosti i smanjenje varijance može dovesti do podnaučenosti.

## 5. Obrada slike

### 5.1. Pretvorba slike u sive nijanse

Prvi korišteni korak prilikom obrade slike jest pretvorba ulazne slike u sive nijanse. Većina digitalnih slika se sastoje od tri odvojena kanala: crveni kanal, zeleni kanal i plavi kanal. Stavljanjem tih slojeva jednog iznad drugog stvaramo sliku u boji. Različiti modeli boja imaju različite kanale, pa tako se možemo susresti sa situacijama kada su kanali boje, neke vrijednosti kao što su svjetlina ili saturacija (zasićenost) i slično. U ovome koraku primaran fokus je postavljen na prethodno spomenute RGB kanale pojedine slike.

Svaki algoritam pretvorbe slike u sive nijanse sastoji se od tri koraka.

1. Dohvaćanje crvene, zelene i plave vrijednosti slikovnog elementa
2. Korištenje matematičke funkcije za preslikavanje tih vrijednosti u specifičnu vrijednost koja predstavlja sivu nijansu
3. Zamjena crvene, zelene i plave vrijednosti s novo izračunatom vrijednošću sive nijanse

#### 5.1.1. Uprosječivanje

Metoda uprosječivanja je najjednostavnija metoda pretvorbe u sive nijanse i kako samo ime kaže vrijednost nijanse računa se sljedećim izrazom:

$$Gray = (Red + Green + Blue)/3. \quad (5.1)$$

Iako je ova metoda najjednostavnija i najbrža, ne uzima u obzir pretpostavke o reprezentaciji sivih nijansi povezane s načinom kako ljudi percipiraju svjetlinu. Zbog toga je razvijeno još mnoštvo metoda koje se temelje na analizi ljudske percepcije boja i neke od tih metoda će biti opisane u nastavku.

### 5.1.2. Poboljšanje temeljeno na ljudskoj percepciji boja

Navedena metoda za razliku od prethodne u obzir uzima da ljudi "jače" percipiraju zelenu boju od crvene te crvenu "jače" od plave. To također ima smisla s gledišta evolucijske biologije, odnosno veliki dio prirode pojavljuje se u nijansama zelene boje, pa su tako ljudi boraveći u prirodnom okruženju razvili veću osjetljivost na zelenu boju. S obzirom na to da ljudi ne percipiraju sve boje jednako, možemo zaključiti da prethodna metoda uprosječivanja nijansi crvene, zelene i plave boje je neprecizna. Umjesto tretiranja svih boja jednako, koristit ćemo pretvorbu gdje pojedinoj boji dajemo određen težinski faktor uzimajući u obzir ljudsko oko. Formula koju koriste i razni moćni alati za obradu slike je sljedeća:

$$Gray = Red \cdot 0.299 + Green \cdot 0.587 + Blue \cdot 0.114. \quad (5.2)$$

Gore navedena formula specificirana je standardom BT.601 koji se koristi u "modernim" digitalnim slikama i video formatima. Takav način pretvorbe boja daje sliku koja je dinamičnija. Postoje neslaganja oko najboljeg načina pretvorbe boja, pa tako prema BT.709 standardu, formula za pretvorbu koja se ponekad u literaturi naziva *Luma* izgleda ovako:

$$Gray = Red \cdot 0.2126 + Green \cdot 0.7152 + Blue \cdot 0.0722. \quad (5.3)$$

Upravo ta formula jest korištena u ovome radu za pretvorbu slika u sive nijanse. Kao što je napomenuto, sami koeficijenti korišteni u težinskoj sumi, odnosno udio pojedine boje se temelji na brojnim analizama provedenih nad ljudskom shvaćanju boja.

## 5.2. Binarizacija

Binarne slike su one slike koje sadrže samo bijele i crne slikovne elemente. Odnosno postupkom binarizacije raspon boja od  $[0, 255]$  skaliramo na samo dvije vrijednosti (na 0 i 255 odnosno na 0 i 1). U ovome radu binarizacija je korištena za odvajanje prednjeg plana od pozadine, odnosno za odvajanje rukom pisanih identifikatora od bijele pozadine. Za binarizaciju slike u ovome radu korištena je Otsuova metoda koja na vrlo logičan način određuje prag binarizacije.

### 5.2.1. Otsuova metoda binarizacija

Otsuova metoda binarizacije pretpostavlja da ulazna slika čiji prag binarizacije želimo izračunati se sastoji od dvije klase slikovnih elemenata odnosno bi-modalnog histo-

grama. Ako su zadovoljeni preduvjeti, računa se optimalni prag za separaciju tih dviju klasa tako da je varijanca unutar pojedine klase minimalna. Neke od glavnih prednosti ove metode su brzina, kvaliteta separacije klasa i jednostavnost implementacije.

Prvi korak prilikom binarizacije jest određivanja praga. Sam prag može biti određen ručno (primjerice postavimo li taj prag na 120, svi slikovni elementi čija siva komponenta jest iznad ili jednaka 120 postavimo na 255, dok sve ispod 120 postavimo na 0), no konstantni prag se nije pokazao najboljim u svim situacijama. Naravno, konstantni prag binarizacije je daleko najbrži, no kako ne daje uvijek najbolje rezultate taj prag je najbolje odrediti dinamički od slike do slike. Metoda uključuje iteriranje kroz sve moguće vrijednosti praga i računa varijancu unutar razreda sa svake strane praga, odnosno za slikovne elemente koji pripadaju prednjem planu i slikovne elemente koji pripadaju pozadini. Cilj je pronaći vrijednost praga koja minimizira varijancu unutar razreda, definiranu kao težinsku sumu varijanci dviju klasa:

$$\sigma_{within}^2(t) = \omega_0(t)\sigma_0^2(t) + \omega_1(t)\sigma_1^2(t). \quad (5.4)$$

Težine  $\omega_0(t)$  i  $\omega_1(t)$  su vjerojatnosti dviju klasa odvojenih pragom  $t$ , a  $\sigma_0^2$  i  $\sigma_1^2$  su varijance tih dviju klasa.

Vjerojatnosti klasa  $\omega_{0,1}(t)$  se računaju iz  $L$  vrijednosti stupaca histograma:

$$\begin{aligned} \omega_0(t) &= \sum_{i=0}^{t-1} p(i), \\ \omega_1(t) &= \sum_{i=t}^{L-1} p(i). \end{aligned} \quad (5.5)$$

Postupak maksimizacije varijance između razreda iziskuje manji broj matematičkih operacija, pa samim time je i računalno efikasniji, a upravo je Otsu pokazao da je minimizacija varijance unutar razreda ekvivalentna maksimizaciji varijance između razreda:

$$\sigma_{between}^2(t) = \sigma^2 - \sigma_{within}^2(t) = \omega_0(\mu_0 - \mu_T)^2 + \omega_1(\mu_1 - \mu_T)^2 = \omega_0(t)\omega_1(t)[\mu_0(t) - \mu_1(t)]^2. \quad (5.6)$$

Pri čemu su  $\omega$  vjerojatnosti klasa, a  $\mu$  očekivanja klasa. U programskim implementacijama u standardnim bibliotekama se koristi maksimizacija varijance između razreda iz spomenutog razloga te je ona korištena i u ovome radu.

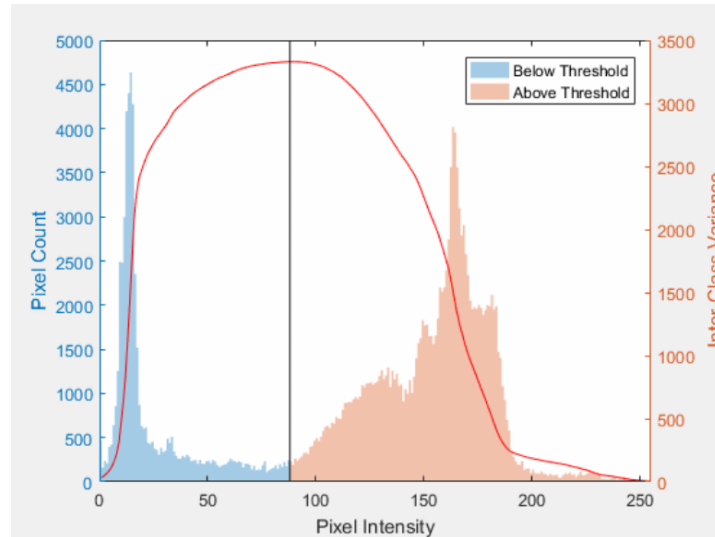
$$\begin{aligned}
\mu_0(t) &= \frac{\sum_{i=0}^{t-1} ip(i)}{w_0(t)} \\
\mu_1(t) &= \frac{\sum_{i=t}^{L-1} ip(i)}{w_1(t)} \\
\mu_T(t) &= \sum_{i=0}^{L-1} ip(i)
\end{aligned} \tag{5.7}$$

Navedene relacije mogu se vrlo lako provjeriti:

$$\begin{aligned}
\omega_0\mu_0 + \omega_1\mu_1 &= \mu_T, \\
\omega_0 + \omega_1 &= 1.
\end{aligned} \tag{5.8}$$

### Algoritam

1. Izračunaj histogram i vjerojatnosti za svaku razinu intenziteta unutar histograma
2. Postavi inicijalne  $\omega_i(0)$  i  $\mu_i(0)$ , za  $i = 0, 1$
3. Iteriraj kroz sve moguće vrijednosti pragova  $t = 1, \dots, \text{maksimalni intenzitet}$ 
  1. Ažuriraj  $\omega_i$  i  $\mu_i$ , za  $i = 0, 1$
  2. Izračunaj  $\sigma_{between}^2(t)$
4. Željeni prag binarizacije odgovara pragu za koji je  $\sigma_{between}^2$  poprimila najveću vrijednost



**Slika 5.1:** Prikaz određivanja praga binarizacije koristeći maksimizaciju varijance između razreda (preuzeto iz Otsu's method (2019))

Krivulja označena crvenom bojom predstavlja vrijednost varijance između razreda za pojedini prag binarizacije.



### 5.3. Dilatacija

Dilatacija je jedna od osnovnih operacija u matematičkoj morfologiji. Originalno je osmišljena za binarne slike, te se u ovome radu upravo nad takvim slikama i koristi. Operacija dilatacije koristi **strukturni element** za ispitivanje i proširenje oblika sadržanih u ulaznoj slici. Prilikom skeniranja ulazne slike na kojoj se nalaze rukom pisani brojevi možemo primijetiti određene nepravilnosti na samim konturama znamenaka. U svrhu podebljanja kontura znamenaka koristi se operacija dilatacije radi poboljšanja skupa za učenje, no i prilikom klasifikacije znamenaka sa slika iz skupa za ispitivanje. Dilatacija je u binarnoj morfologiji invarijantna na pomak i komutativna. Sama binarna slika u matematičkoj morfologiji se promatra kao podskup Euklidskog prostora  $\mathbb{R}^d$  ili prostora cijelih brojeva  $\mathbb{Z}^d$ , gdje je  $d$  dimenzija ulazne slike određene širine i visine. Neka je  $A$  binarna slika definirana u Euklidskom prostoru ili u prostoru cijelih brojeva  $E$  i neka je  $B$  strukturni element podskup prostora  $\mathbb{R}^d$ . Tada je dilatacija binarne slike  $A$  sa strukturnim elementom  $B$  izražena izrazom:

$$A \oplus B = \bigcup_{b \in B} A_b. \quad (5.9)$$

Pri tome je  $A_b$  translacija binarne slike  $A$  s obzirom na  $b$ . Također zbog svojstva komutativnosti vrijedi:

$$A \oplus B = B \oplus A = \bigcup_{a \in A} B_a. \quad (5.10)$$

Korišteni strukturni element u ovome radu prikazan je u nastavku:

$$b = \begin{bmatrix} 1 & 1 & 1 \\ 1 & 1 & 1 \\ 1 & 1 & 1 \end{bmatrix}.$$

#### 5.3.1. Primjer

Neka je binarna slika definirana matricom:

$$A = \begin{bmatrix} 0 & 0 & 0 & 0 & 0 \\ 0 & 0 & 1 & 0 & 0 \\ 0 & 1 & 1 & 1 & 0 \\ 0 & 0 & 1 & 0 & 0 \\ 0 & 0 & 0 & 0 & 0 \end{bmatrix},$$

te neka je strukturni element:

$$b = \begin{bmatrix} 1 & 1 \\ 1 & 1 \end{bmatrix}.$$

Rezultat dilatacije binarne slike  $A$  koristeći strukturni element  $b$ :

$$C = \begin{bmatrix} 0 & 1 & 1 & 1 & 0 \\ 1 & 1 & \mathbf{1} & 1 & 1 \\ 1 & \mathbf{1} & \mathbf{1} & \mathbf{1} & 1 \\ 1 & 1 & \mathbf{1} & 1 & 1 \\ 0 & 1 & 1 & 1 & 0 \end{bmatrix}.$$

Rezultat dobivamo tako da za svaki slikovni element u  $A$  čija je vrijednost 1, postavimo  $b$  te "širimo" slikovne elemente u originalnoj slici s obzirom na strukturni element  $b$ . U radu se pokazalo kako je operacija dilatacije vrlo bitna za kvalitetu dobivenih klasifikacija mreže i pronalazak graničnih okvira oko samih znamenaka.

## 5.4. Stanjivanje

U svrhu stanjivanja kontura znamenaka implementiran je Zhang-Seunov algoritam stanjivanja koji radi nad binarnim slikama. Navedeni algoritam se koristi u poznatim bibliotekama za obradu slika poput *OpenCV*-a. Pretpostavimo da promatramo sliku otiska prsta gdje je sam otisak otisnut crnom bojom, dok je pozadina bijele boje.



**Slika 5.2:** Primjer stanjivanja otiska prsta (preuzeto iz Jared Gerschler (2018))

Možemo zamisliti da je svaki crni slikovni element predstavljen s 1, dok je svaki bijeli predstavljen s vrijednošću 0. Zhang-Seunov algoritam djeluje nad crnim slikovnim elementima sa susjedstvom od 8 slikovnih elemenata. To automatski povlači da slikovni elementi na rubovima i u kutevima se ne razmatraju. Za svaki slikovni element koji se analizira, u nastavku je naveden redoslijed obilaska susjedstva.  $P_1$  je slikovni element koji se analizira.

$$\begin{bmatrix} P9 & P2 & P3 \\ P8 & \mathbf{P1} & P4 \\ P7 & P6 & P5 \end{bmatrix}$$

U algoritmu se koriste dvije specifične vrijednosti.

$A(P1)$  - broj prijelaza iz 0-1 odnosno iz bijelog slikovnog elementa u crni (analogno s prethodnom pretpostavkom o oznakama crnih i bijelih slikovnih elemenata) u sljedećem redoslijedu  $P2 \Rightarrow P3 \Rightarrow P4 \Rightarrow P5 \Rightarrow P6 \Rightarrow P7 \Rightarrow P8 \Rightarrow P9 \Rightarrow P2$ . Pogledamo li detaljnije matricu prijelaza, možemo uočiti da se krećemo u smjeru kazaljke na satu oko slikovnog elementa P1, pri čemu se P2 pojavljuje dva puta.

$B(P1)$  = broj crnih slikovnih elemenata koji su susjedi od P1, odnosno drugim riječima koliko ima crnih slikovnih elemenata od P2 do P9.

Algoritam možemo razmatrati kroz dva koraka navedena u nastavku.

### Prvi korak

U prvom koraku tražit ćemo P1 slikovne elemente koji zadovoljavaju 5 uvjeta. Ako P1 slikovni element zadovoljava svih 5 uvjeta, bit će postavljen kao bijeli slikovni element. Slikovni elementi se postavljaju kao bijeli nakon što se pronađu svi interesantni slikovni elementi jer u suprotnome neće biti konvergencije.

1. Slikovni element je crni ( $P1 = 1$ ) i ima osam susjeda (dakle ne ubrajamo rubove i kuteve)
2. Broj susjednih crnih slikovnih elemenata za P1 je najmanje 2 a najviše 6, odnosno  $2 \leq B(P1) \leq 6$
3. Broj prijelaza iz bijelog u crni slikovni element oko P1 je jednak 1. Dakle,  $A(P1) = 1$
4. P2, P4 ili P6 mora biti bijeli slikovni element (jednak 0)
5. P4, P6 ili P8 mora biti bijeli slikovni element (jednak 0)

Svi P1 slikovni elementi koji zadovoljavaju gornjih 5 uvjeta se postavljaju kao bijeli, odnosno vrši se stanjivanje.

### Drugi korak

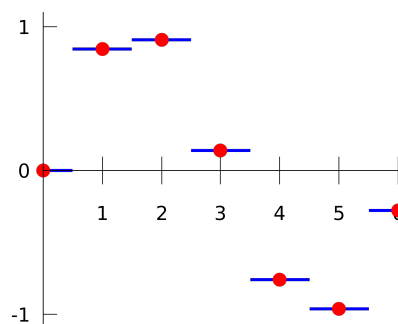
Prva tri dijela drugog koraka identični su kao u prethodnom koraku. Četvrti i peti korak su nešto razlikuju, kao što se može vidjeti u nastavku.

1. Slikovni element je crni ( $P1 = 1$ ) i ima osam susjeda (dakle ne ubrajamo rubove i kuteve)
2. Broj susjednih crnih slikovnih elemenata za  $P1$  je najmanje 2 a najviše 6, odnosno  $2 \leq B(P1) \leq 6$
3. Broj prijelaza iz bijelog u crni slikovni element oko  $P1$  je jednak 1. Dakle,  $A(P1) = 1$
4.  $P2$ ,  $P4$  ili  **$P8$**  mora biti bijeli slikovni element (jednak 0)
5.  **$P2$** ,  $P6$  ili  $P8$  mora biti bijeli slikovni element (jednak 0)

Identično, svi  $P1$  slikovni elementi koji zadovoljavaju ovih 5 uvjeta se postavljaju kao bijeli, ali tek nakon što su pohranjeni slikovni elementi koji zadovoljavaju kriterije. Prvi i drugi korak se ponavljaju dokle god se slikovni elementi više ne mijenjaju.

## 5.5. Interpolacija

Kako duboki model na ulazu mreže za klasifikaciju rukom pisanih identifikatora očekuje slike istih dimenzija, a svaka od znamenki je varirajuće širine i visine potreban je postupak skaliranja odnosno interpolacije ulazne slike na željene dimenzije ulaza u mrežu. U tu svrhu u ovome radu implementirana je metoda interpolacije na temelju najbližeg susjeda (engl. *Nearest-neighbor interpolation*). Sama interpolacija jest problem aproksimacije vrijednosti funkcije za nepoznatu točku u nekom prostoru kada je dana vrijednost iste funkcije u točkama oko te točke (za susjedne točke). Algoritam najbližeg susjeda odabire vrijednost koju poprima najbliža točka, dajući tako po dijelovima konstantne interpolante.



**Slika 5.3:** Prikaz interpolacije metodom najbližeg susjeda (preuzeto iz Interpolation (2019))

## 5.6. Translacija

Ulazne slike nakon skaliranja mogu se centrirati tako da se izračuna centar mase slikovnih elemenata koji čine konturu pojedine znamenke. Nakon izračuna centra mase konture znamenke (u ovome radu konturu čine bijeli slikovni elementi dok je pozadina crne boje), slika se translacija tako da je pozicija točke koja predstavlja centar mase u središtu skalirane slike. Ista metoda se koristi i u javno dostupnoj bazi rukom pisanih brojeva *MNIST*.

## 5.7. Pronalazak povezanih komponenti

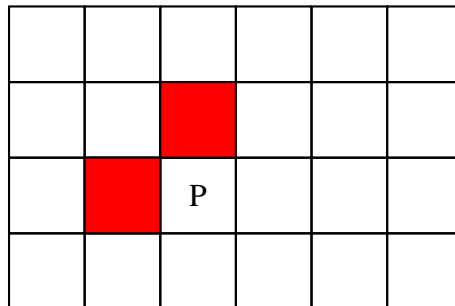
Nakon obrade pojedine ulazne slike na kojoj se nalaze rukom pisani identifikatori potrebno je pronaći granične okvire oko svih znamenaka koje se pojavljuju na slici. Nakon pronalaska svih graničnih okvira, svaki okvir se smatra jednom ulaznom slikom za mrežu. Kako bi mreža uspješno mogla klasificirati pojedinu znamenku bitno je da što reprezentativnije pronađemo znamenke koje se nalaze na pojedinoj slici. Kako bismo to postigli koristi se efikasna metoda pronalaska povezanih komponenti (engl. *Connected Component Labelling*). Upravo zato što sama metoda pronalazi povezane komponente, vrlo je bitno da dilatacijom dobivamo stvarne, neisprekidane konture znamenaka ili u suprotnom ćemo neprecizno pronalaziti granične okvire. Zbog toga nakon pronalaska graničnih okvira, slijedi niz dodatnih analiza. Jedna od njih jest vertikalna analiza udaljenosti pojedinih graničnih okvira. Ako su dva granična okvira iste širine, te su neznatno vertikalno udaljeni jedan od drugoga, spajamo ih u jedan okvir kao uniju dosadašnjih graničnih okvira. Pretpostavka se tijekom testiranja implementiranog sustava pokazala vrlo korisnom, odnosno dovela jest do smanjenja broja pogrešno označenih graničnih okvira. Više o korištenim analizama detaljnije je opisano u nastavku.

U kontekstu analize algoritma u nastavku labeliranjem se smatra pridjeljivanje određene vrijednosti slikovnom elementu. Dakle, problem se svodi na labeliranje povezanih regija na slici. Cilj jest po završetku algoritma da povezane regije imaju iste labele. Klasični algoritam je osmišljen još u prošlom stoljeću, 1966. godine dizajnirali su ga Rosenfeld i Pfalz. Algoritam koristi strukturu *union find* za rješavanje navedenog problema. Struktura *union find* ima primjene u teoriji grafova za efikasno ispitivanje povezanosti čvorova u grafu. Sama struktura podržava spajanje dviju grupa i upit jesu li neka dva elementa u istoj grupi. Svaka grupa je stablo gdje je korijen zastupnik

te grupe. Spajanje dviju grupa vršimo tako da zastupnika grupe prvog elementa spojimo kao dijete zastupnika drugog elementa. Kako bismo se riješili dugih lanaca ovdje možemo ubaciti provjeru koja u 50% slučajeva zamijeni ta dva elementa. Da bismo provjerili jesu li 2 elementa u istoj grupi, moramo usporediti njihove zastupnike, odnosno korijene njihovih stabala. Prilikom traženja zastupnika možemo svu njegovu djecu koju prođemo spojiti direktno na njega. Zbog ovih dviju optimizacija obje operacije (*union*, *find*) imaju amortiziranu  $\mathcal{O}(1)$  složenost.

### Algoritam

U prvom prolazu algoritma provjeravamo svaki slikovni element jednog po jednog, krenuvši od gornjeg lijevog ugla do donjeg desnog ugla.



**Slika 5.4:** Prikaz slikovnih elemenata koji se razmatraju prilikom pronalaska povezanih komponenti

Razmatramo li slikovni element P, provjeravamo samo crvene slikovne elemente. Tako, u svakom trenutku izvođenja algoritma, u memoriji moramo imati samo dva retka slikovnih elemenata slike.

1. Provjeravamo je li trenutni slikovni element interesantan za razmatranje. Ako pripada pozadini, slikovni element ignoriramo i pomičemo se sljedeće na idući. Ako pripada prednjem planu, krećemo na idući korak.
2. Dohvaćamo labele slikovnih elemenata iznad i lijevo od slikovnog elementa P. Pohranjujemo vrijednosti u varijable (nazovimo te varijable A i B).
3. Ako slikovni element iznad i/ili lijevo nije element pozadine, krećemo na idući korak. Inače, ako su oba slikovna elementa, elementi pozadine, ne možemo dohvatiti labele i kreiramo novu labelu te je pohranjujemo u A i B.
4. Uspoređujemo vrijednosti u varijablama A i B. Manju vrijednost pohranjujemo kao labelu slikovnog elementa P.

5. Pretpostavimo da imamo situaciju u kojoj slikovni element iznad ima labelu A i slikovni element lijevo ima labelu B. No, očito jest da su te dvije labele povezane (povezuje ih trenutni slikovni element P). Tada moramo pohraniti informaciju da

Yellow		Orange	Orange	Orange	
Yellow	Yellow	P			

**Slika 5.5:** Povezane komponente označene različitim labelama

su labele A i B jednake. Tu se u igru uključuje gore spomenuta struktura *union find*. Postavljamo labelu A kao dijete od labele B. Ta informacija će nam kasnije biti korisna u drugom prolazu algoritma kako bi "počistili nered". Bitno jest napomenuti da manja labela se pridružuje slikovnom elementu P, a veća labela postaje dijete od manje labele. Inicijalno je svaka nova labela svoj zastupnik te prolazom kroz slikovne elemente može postati dijete neke druge labele.

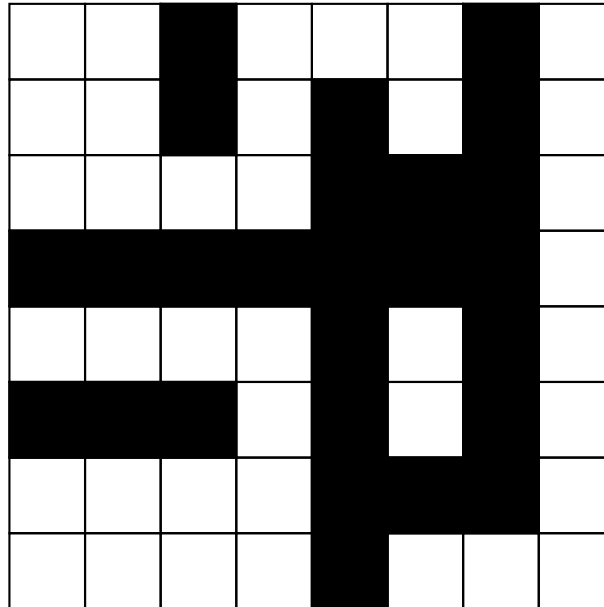
6. Prelazimo na idući slikovni element.

U drugom prolazu algoritma također idemo slikovni element po element, od gornjeg lijevog kuta do donjeg desnog.

1. Provjeravamo za slikovni element je li zastupnik u strukturi *union find*. Ako jest, idemo na idući slikovni element i ponavljamo postupak.
2. Inače, pratimo poveznicu do zastupnika grupe. Kada smo pronašli zastupnika grupe, dodjeljujemo nađenu labelu trenutnom slikovnom elementu.

### 5.7.1. Primjer rada algoritma

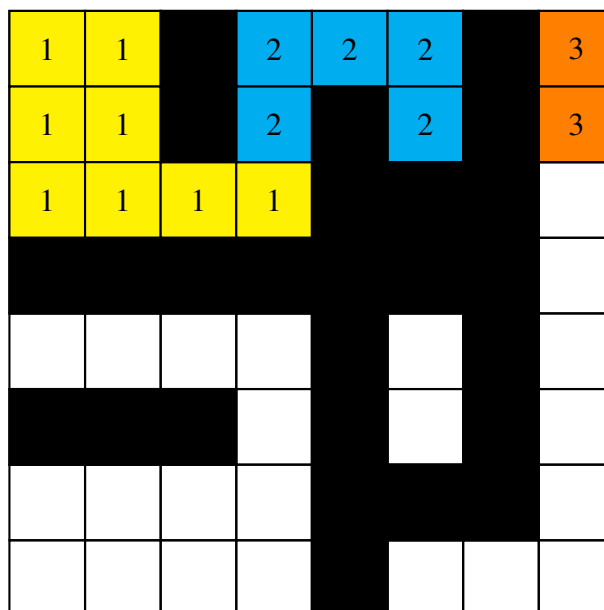
Pretpostavimo da promatramo binarnu sliku 5.6 gdje 1 označava bijeli slikovni element, dok 0 označava crni. Zanima nas labeliranje bijelih slikovnih elemenata.



**Slika 5.6:** Binarna slika za demonstraciju pronalaska povezanih komponenti

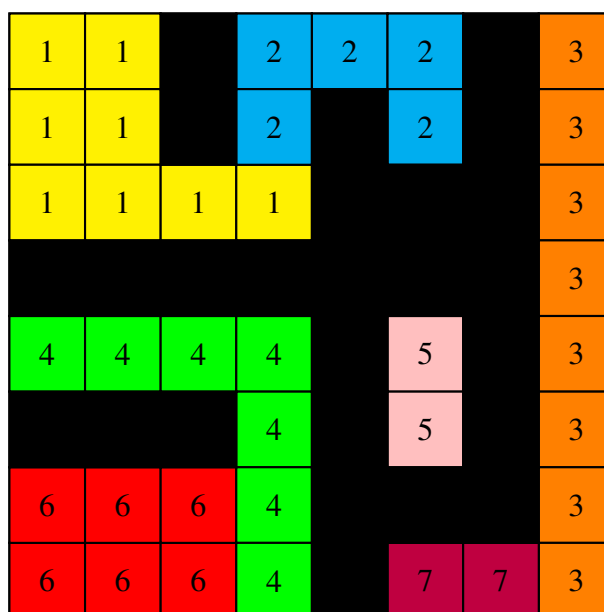
Prva specifična situacija se dešava kada promatramo treći redak i četvrti stupac (3, 4) kao što je prikazano na slici 5.7. Imamo slikove elemente i lijevo i iznad spomenutog slikovnog elementa, i oba imaju različite labele. Kao što je prethodno spomenuto, uzimamo labelu s manjom vrijednošću i postavljamo je na poziciju (3, 4), dakle labelu s vrijednošću 1. Također, labelu 2 (numerički veća labela) pohranjujemo kao dijete od labela 1 koristeći strukturu *union find*. Dakle, u strukturi *union find* nakon obrade ovog slikovnog elementa imamo pohranjeno da je labela 2 dijete od labela 1.





**Slika 5.7:** Primjer slikovnog elementa (3, 4) koji povezuje različito labelirane komponente

Pratimo li dalje korake prethodno opisanog prvog prolaza algoritma naposljetku dobivamo strukturu kao na slici 5.8.



**Slika 5.8:** Labele nakon prvog prolaza algoritma

Nakon završenog prvog koraka labela s vrijednošću 2 je dijete labele 1, labela 6 je dijete labele 4 i labela 7 je dijete labele 3. U idućem prolazu na temelju odnosa dijete-roditeљ vršimo filtriranje, kao što je prethodno opisano, te u konačnici imamo situaciju kao na slici 5.9.

1	1		1	1	1		3
1	1		1		1		3
1	1	1	1				3
							3
4	4	4	4		5		3
			4		5		3
4	4	4	4				3
4	4	4	4			3	3

**Slika 5.9:** Pronađene povezane komponente

Ovo je upravo rezultat koji smo inicijalno željeli dobiti, te možemo uočiti kako je svaka povezana regija poprimila specifičnu labelu koja je predstavnik same regije. Općenito, u teoriji grafova za pronalazak povezanih komponenti unutar grafa koristi se struktura *union find* ili pretraživanje u dubinu (engl. *depth first search*) (DFS). Pretraživanje u dubinu jest jednostavnije i asimptotski brže ( $\mathcal{O}(n)$  vs.  $\mathcal{O}(n\alpha(n))$ , gdje je  $\alpha(n)$  Ackermannova funkcija), no struktura *union find* može se koristiti i kada imamo dinamičke grafove (kod kojih se mogu dinamički dodavati novi bridovi).

## 6. Izgrađeni sustav

Sustav je implementiran koristeći programski jezik *Java* i radni okvir za duboko učenje *Deeplearning4j*. Kao što je prethodno spomenuto svaka od učitanih slika prolazi kroz faze pretvorbe u sive nijanse, binarizacije odnosno odvajanja prednjeg plana od pozadine, dilatacije, interpolacije metodom najbližeg susjeda te centriranja metodom centra mase. Tako transformirana slika se šalje kao ulaz metodi koja je zadužena za pronalazak povezanih kontura na slici koje kasnije koristimo za pronalazak okvira oko pojedine znamenke. Nakon pronalaska pojedinih okvira slike se šalju na ulaz konvolucijske duboke neuronske mreže. U skupu za učenje duboke konvolucijske neuronske mreže bilo je 2371 slika, dok se skup za testiranje sastojao od 402 slike. Baza jest izgrađena od rukom pisanih identifikatora pisanih od strane više različitih osoba. Mreža je imala 6 slojeva i ukupno 1385130 parametara. Učenje je provedeno kroz 30 epoha, u mini-grupama (engl. *mini-batch*) od po 54 uzorka. Svaka od slika se prethodno spomenutom metodom interpolacije skalirala na dimenzije 28x28, što je ujedno i dimenzija ulaznog sloja. Za dodjeljivanje inicijalnih težina korištena je Xavierova inicijalizacija. Kod Xavierove inicijalizacije težine se inicijaliziraju iz normalne distribucije:

$$W_{i,j} \sim \mathcal{N}(0, \frac{2}{n_{in} + n_{out}}) \quad \text{ili} \quad W_{i,j} \sim \mathcal{N}(0, \frac{0}{n_{in}}), \quad (6.1)$$

gdje je  $n_{in}$  broj ulaza neurona, a  $n_{out}$  broj izlaza neurona. Konkretno u implementaciji je korištena prva varijanta. U praksi se često za inicijalizaciju težina koristi Xavierova inicijalizacija. Za učenje mreže korišten je stohastički gradijenti spust (engl. *Stochastic gradient descent*) (SGD) s Nesterovim momentom. Učenje s momentom koristi se za ubrzavanje učenja kod šumovite procjene gradijenta i kod malih ali konzistentnih gradijenata. Postupak akumulira eksponencijalno umanjujući prosjek prethodno izračunatih gradijenata i nastavlja u tome smjeru.

$$\mathbf{v} \leftarrow \alpha \cdot \mathbf{v} - \epsilon \cdot \nabla_{\theta} \left( \frac{1}{m} \sum_{i=1}^m L(f(\mathbf{x}^{(i)}; \theta), y^i) \right) \quad (6.2)$$

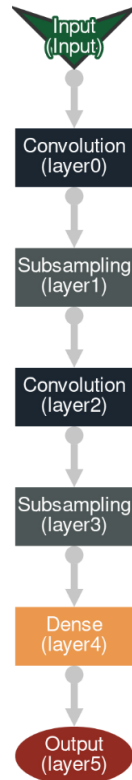
$$\theta \leftarrow \theta + \mathbf{v}, \quad (6.3)$$

pri čemu  $v$  predstavlja eksponencijalno umanjujući prosjek prethodnih gradijenata,  $\alpha \in [0, 1)$  predstavlja brzinu umanjivanja odnosno govori koliko je relevantan prethodno izračunati prosjek,  $\epsilon \in [0, 1)$  je stopa učenja.  $L$  je funkcija gubitka dok je  $f(x; \theta)$  predviđeni izlaz našeg modela za neki uzorak  $x$  iz skupa za učenje. Iz jednadžbe osvježavanja parametara modela jasno je da parametrima  $\alpha$  i  $\epsilon$  možemo korelirati utjecaj prethodnih gradijenata odnosno trenutno izračunatih gradijenata. Što je manji  $\alpha$  u odnosu na  $\epsilon$ , to je manji utjecaj prethodnih gradijenata na smjer ažuriranja. Modifikacijom osnovnog algoritma učenja s momentom dolazimo do Nesterovog momenta koji parametra ažurira na sljedeći način:

$$v \leftarrow \alpha \cdot v - \epsilon \cdot \nabla_{\theta} \left( \frac{1}{m} \sum_{i=1}^m L(f(x^{(i)}; \theta + \alpha v), y^i) \right) \quad (6.4)$$

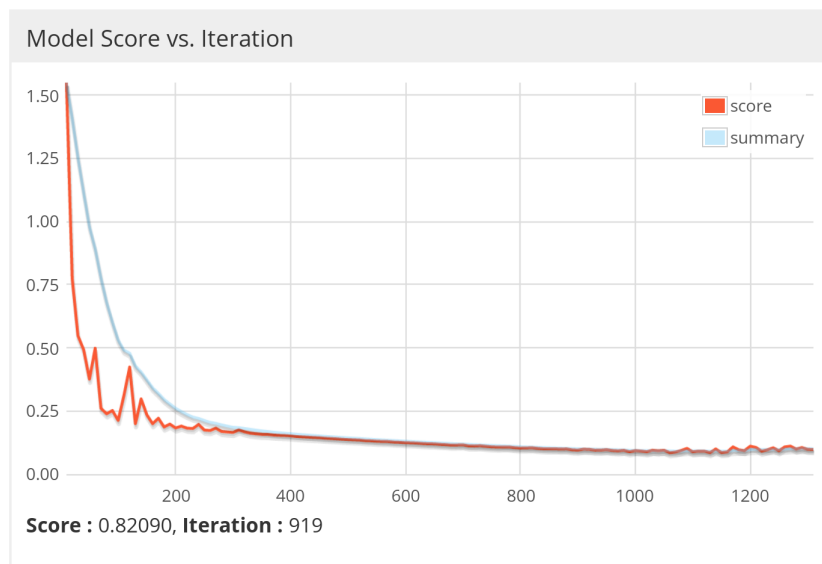
$$\theta \leftarrow \theta + v, \quad (6.5)$$

Dakle, razlika u odnosu na osnovni algoritam jest u tome da gradijent računamo u parametrima koji odgovaraju  $\theta + \alpha v$ . Nadalje klasično računamo prosjek gradijenata i radimo korekciju izvornih parametara izgrađenog modela. Dodatno, u izgrađenom modelu koristi se L2 regularizacija s parametrom  $\lambda = 0.0005$ .

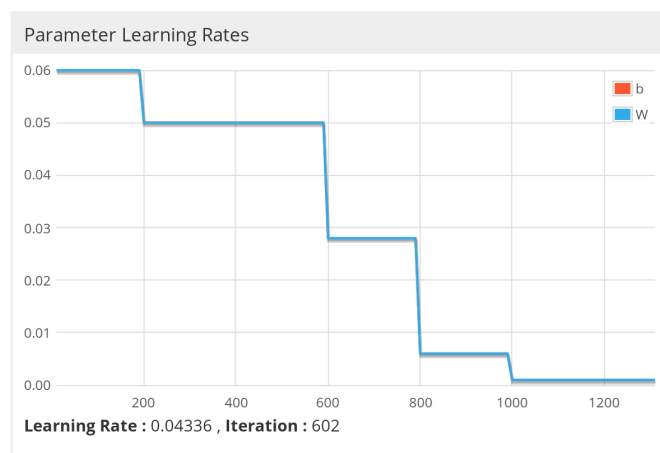


**Slika 6.1:** Arhitektura izgrađenog konvolucijskog modela

Na slici 6.1 možemo vidjeti arhitekturu izgrađene konvolucijske neuronske mreže. Nakon ulaznog sloja  $28 \times 28 \times 1$  slijedi konvolucijski sloj s jezgrom dimenzija  $[5, 5]$  i pomakom  $[1, 1]$ , bez nadopunjavanja. Kao prijenosna odnosno aktivacijska funkcija koristi se funkcija identiteta. Zatim slijedi sloj za sažimanje maksimalnom vrijednošću, koristi jezgru dimenzija  $[2, 2]$  s pomakom  $[2, 2]$ , također bez nadopunjavanja. Idući sloj je opet konvolucijski s jezgrom dimenzija  $[5, 5]$  i pomakom  $[1, 1]$ , no kao aktivacijsku funkciju koristi ispravljenu linearnu funkciju ReLu. Slijedi identični sloj za sažimanje maksimalnom vrijednošću, te na kraju potpuno povezani sloj s ispravljenom linearnom aktivacijskom funkcijom koji se veže na 10 izlaza (za svaku znamenku imamo po jedan izlaz).



**Slika 6.2:** Vrijednost funkcije gubitka kroz iteracije



**Slika 6.3:** Stope učenja kroz iteracije

Kako bi procijenili koliko je klasifikator dobar koristimo četiri osnovne mjere evaluacije: točnost (engl. *accuracy*), preciznost (engl. *precision*), odziv (engl. *recall*) i F1 mjeru.

Točnost definiramo kao omjer ispravno klasificiranih primjera i ukupnog broja primjera:  $A_{cc} = \frac{TP+TN}{N} = \frac{TP+TN}{TP+TN+FP+FN}$ .

Preciznost je definirana izrazom:  $P = \frac{TP}{TP+FP}$ .

Odziv je definiran omjerom broja primjera koje je klasifikator označio kao pozitivne i ukupnog broja pozitivnih primjera:  $R = \frac{TP}{TP+FN}$ . Još se i naziva *true positive rate*.

F1 mjeru definiramo kao harmonijsku sredinu između preciznosti i odziva:  $F1 = \frac{2}{\frac{1}{P} + \frac{1}{R}} = \frac{2PR}{P+R}$ . Kako se svaka matrica dimenzija  $N \times N$  može svesti na matricu dimenzija  $2 \times 2$  za svaku od  $N$  klasa (ukupno  $N$  matrica  $2 \times 2$ ), navedene formule možemo koristiti za računanje mjera naše  $10 \times 10$  matrice zabune i dobivamo rezultate kao u tablici 6.2.

Iz tablice evaluacije modela možemo primijetiti kako implementirani klasifikator na testnome skupu postiže gotovo 97% za svaku od mjera.

	0	1	2	3	4	5	6	7	8	9
0=0	39	0	0	0	0	0	0	0	1	0
1=1	0	41	0	0	0	0	0	0	0	0
2=2	0	0	40	0	0	0	0	0	0	0
3=3	0	0	0	37	0	0	0	0	0	3
4=4	0	0	0	0	40	0	0	0	0	0
5=5	0	0	0	0	0	36	4	0	0	0
6=6	0	0	0	0	2	0	38	0	0	0
7=7	0	0	0	0	0	0	0	41	0	0
8=8	0	0	0	0	0	0	0	0	40	0
9=9	0	0	0	0	3	0	0	0	0	37

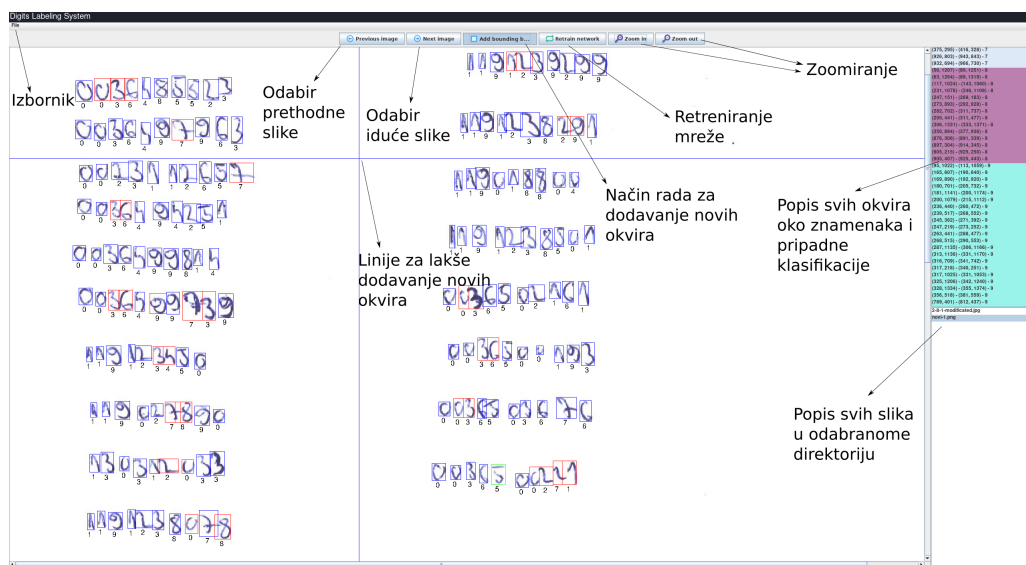
**Tablica 6.1:** Matrica zabune

Točnost	0.9677
Preciznost	0.9694
Odziv	0.9675
F1	0.9676

**Tablica 6.2:** Evaluacija modela

Nakon implementacije sustava za obradu slike, pronalazak okvira oko znamenaka i sustava za klasifikaciju, implementirano je grafičko korisničko sučelje (engl. *Graphical User Interface*) koristeći *Swing* koji pruža skup biblioteka za kreiranje GUI-a neovisno o platformi (engl. *cross-platform*).

Pokretanjem aplikacije korisnik unutar izbornika odabire direktorij sa slikama koje želi poluautomatski labelirati. Ako u direktoriju postoji slika, sustav prikazuje prvu na koju je naišao te dodatno pomoću prethodno opisanih metoda pronalazi okvire oko pojedinih znamenaka i dodjeljuje svakoj od znamenaka jednu od klasa. Korisnik ima mogućnost uređivati postojeće okvire, brisati, dodavati nove te promijeniti klasu pojedine znamenke.



**Slika 6.4:** Prikaz glavnog ekrana aplikacije

Nakon uspješnog labeliranja nudi se mogućnost retreniranja mreže s novo označenim znamenkama. Time se nudi mogućnost gradnje još većeg skupa za učenje, što u konačnici dovodi do robusnije klasifikacijske mreže. Također moguće je pohraniti odnosno učitati podatke o već prethodno labeliranim slikama. Radi boljih performansi svaki od graničnih okvira iscrtava se u zasebnom sloju iznad sloja u kojem se iscrtava slika kako ne bi bilo potrebe za ponovnim renderiranjem same slike. Dodatno, podatci o svakoj od označenih slika spremaju se u priručnu memoriju tijekom označavanja kako ne bi bilo potrebno čekati sustav da odradi lokalizaciju i klasifikaciju ako je već vidio odabranu sliku. Radi bolje preglednosti unutar popisa svih okvira oko znamenaka i pripadne klasifikacije sortirane su prvo po klasi  $[0, 9]$ , zatim po  $x$  koordinati gornjeg lijevog ugla okvira te naposljetku po  $y$  koordinati gornjeg lijevog ugla. Dodatno su pojedine klase vizualno separirane različitim bojama.

Granični okviri koje pronađe algoritam temeljen na pronalasku spojenih komponenti odnosno kontura prolazi kroz dvije dodatne faze prije konačne odluke. U prvoj fazi predprocesiranja na temelju raznih filtera pokušavaju se eliminirati šumovi i spojiti okviri koji vjerojatno pripadaju istoj znamenci. Algoritam na temelju udaljenosti dvaju okvira pokušava razriješiti da li je potrebno spojiti okvire. Ako je udaljenost između okvira manja od najveće moguće definirane, promatra se omjer visina i širina. Dodatno se promatra dobiva li se spajanjem dvaju okvira novi okvir čija je visina odnosno širina znatno veća od prosječne visine odnosno širine. Eksperimentalnom metodom nad većim uzorkom izračunate su okvirni pragovi maksimalnog dozvoljenog omjera visina, širina i odstupanja od srednjih vrijednosti, te se na temelju ugrađenog znanja u sustav spajaju okviri koji vrlo vjerojatno čine jednu znamenku, no koje zbog kvalitete skeniranja ili loše otisnutog broja sustav nije prepoznao kao jednu spojenu konturu. Sustav rekurzivno spaja okvire, primjerice kaže li sustav da je potrebno spojiti okvir  $B_1$  s okvirima  $B_2, B_3$ , te da je okvir  $B_3$  potrebno spojiti s okvirima  $B_4, B_5$ , provodi se spajanje  $B_1, B_2, B_3, B_4, B_5$  u jedan novi okvir. Sam sustav je testiran nad znamenkama pisanim različitim bojama kemijskih olovaka, tehničkim olovkama i običnim olovkama. Naposljetku sustav na temelju prosječne visine okvira eliminira šumove tako da traži one okvire koji su znatno manji od prosječne visine svih okvira. Ova faza je temeljena čisto na matematičkim pravilima koja opisuju *a priori* znanje o tome kako čovjek piše znamenke. Primjerice očekivano jest da kada pišemo svoj identifikacijski broj da su nam znamenke približno iste visine, da pojedine znamenke odvajamo približno istim razmakom, da se držimo relativno linije pisanja odnosno da nam nije jedan broj gore na stranici a drugi na sredini stranice itd. Nakon završetka ove faze sustavu za klasifikaciju se prosljeđuju obrađeni okviri. Sustav na temelju njih vrši klasifikaciju i tako već klasificirane znamenke šalju se na postprocesiranje.

U fazi postprocesiranja sustav može predvidjeti koje znamenke su vjerojatno krivo označene (primjerice sustav je spojio dva okvira u jedan, a unutra se nalaze dvije znamenke i slično). Po izlasku iz ove faze okviri i klasifikacije istih se prikazuju korisniku na grafičkom korisničkom sučelju. Oni okviri za koje pretpostavljamo da je sustav možda pogriješio, poprimaju crvenu boju, dok su preostali označeni plavom bojom. Prvi od postprocesora koji se koristi temelji se na izračunu prosječne širine okvira. Ako je širina okvira barem 1.5 puta veća od prosječne širine, vjerojatno se radi o pogrešno označenoj znamenci. Drugi postprocesor se temelji na izlazu klasifikatora. Kako je izlaz klasifikatora diskretan probabilistički, odnosno kako je suma vjerojatnosti pojedinih klasa jednaka 1, drugi postprocesor na temelju sigurnosti (engl. *confidence*) svoje odluke i zbunjenosti klasifikatora (engl. *perplexity*) pokušava pronaći krivo oz-



načene okvire. U teoriji informacija, zbunjenost je definirana kao mjera koliko dobro vjerojatnosna distribucija ili probabilistički model predviđa uzorak. Često se koristi za usporedbu probabilističkih modela. Što je mjera zbunjenosti manja, vjerojatnosna distribucija je bolja u predviđanju uzorka. Zbunjenost se matematički definira preko entropije (engl. *entropy*), odnosno zbunjenost diskretne vjerojatnosne distribucije  $p$  definiramo kao:

$$2^{H(p)} = 2^{-\sum_x p(x) \log_2 p(x)}, \quad (6.6)$$

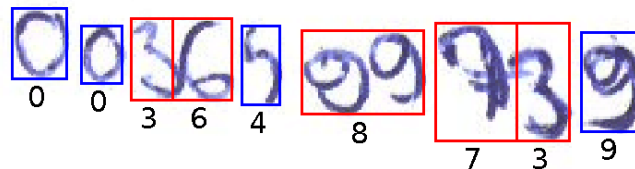
pri čemu je  $H(P)$  entropija distribucije i  $x$  pojedini događaj čiju vjerojatnost razmatramo. Općenito, entropiju možemo promatrati kao mjeru nesigurnosti ili neodređenosti tako da sama definicija zbunjenosti se pokazuje kao smisljena. Maksimalna prihvatljiva zbunjenost modela dobivena je eksperimentalnim putem. Ako je sigurnost klasifikatora u svoju odluku manja od 50% i ako je njegova zbunjenost veća od eksperimentalno dobivene vrijednosti, promatrani okvir se šalje na analizu kliznim prozorom (engl. *sliding window*). Istovjetno se postupa ako je širina okvira barem 1.5 puta veća od prosječne širine.

Metoda zadužena za analizu okvira kliznim prozorom pokušava koristeći različite veličine kliznog prozora razdijeliti okvir na dijelove kako bi zbunjenost modela bila minimalna. Metoda na početku za prvu od definiranih veličina kliznih prozora uzme prvih  $N$  slikovnih elemenata okvira te računa zbunjenost modela. Zatim uzme još  $N$  slikovnih elemenata okvira, dakle ukupno  $2N$  slikovnih elemenata je širina okvira i ponovno računa zbunjenost modela. Analogno se okvir obrađuje dok se ne dođe do kraja slike. U tom trenutku računa se za koju širinu slike je postignuta najmanja zbunjenost. Ako je zbunjenost najmanja za inicijalni okvir, nastavlja se sa sljedećom veličinom kliznog prozora. U suprotnome, ulazni okvir se analizira ekvivalentno od točke za koju je utvrđeno da model ima najmanju zbunjenost. Dakle, nastavlja se analiza s preostalim dijelom okvira, a pronađeni okvir se dodaje u novi skup okvira. Nakon što završi analiza, traži se minimalna zbunjenost postignuta za različite veličine kliznog prozora. Kako bi se više kažnjavala veća zbunjenost prilikom traženja najadekvatnije podjele okvira računa se suma kvadrata zbunjenosti za svaku veličinu kliznog prozora. Dobivamo li primjerice za jednu veličinu prozora da je najmanja zbunjenost da se okvir uopće ne dijeli, dok za drugu veličinu prozora kao izlaz dobivamo da je najbolje okvir podijeliti na 3 dijela, potrebno je regulirati utjecaj pojedinih faktora u navedenoj sumi kako podjela sa samo jednim okvirom i relativno velikom zbunjenošću se ne bi preferirala naspram podjele koja daje znatno manje zbunjenosti, no u sumi dovodi do znatno

većeg utjecaja. Konačan izraz korišten za traženje podjele s najmanjom zbunjenosti je dan u nastavku:

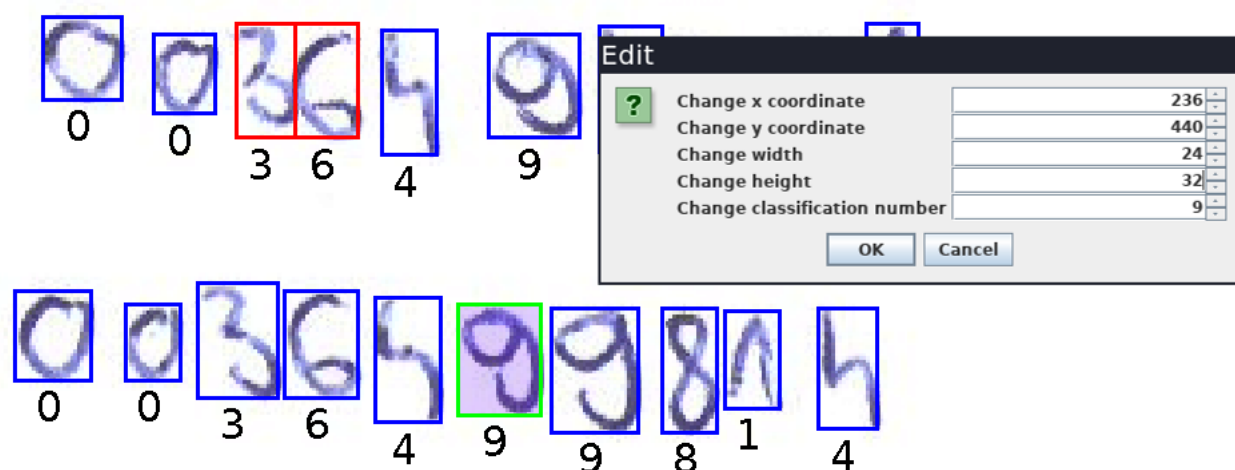
$$Utjecaj = \sum_{i=0}^{i=broj\ okvira-1} zbunjenost_i^2 \cdot e^{-i}. \quad (6.7)$$

Primjer u nastavku demonstrira rad sustava za predviđanje potencijalno pogrešno označenih okvira oko znamenaka. Izvorno su parovi znamenaka (3, 6), (9, 9) i (7, 3) imali po jedan granični okvir, odnosno bili su labelirani kao jedna znamenka. Sustav za postprocesiranje je na temelju prosječne širine, zbunjenosti i sigurnosti klasifikatora pretpostavio da se radi o pogrešci i ispravno označio okvire crvenom bojom. Metodom kliznog prozora sustav je uspješno razriješio situaciju i odvojio znamenke (3, 6) i (7, 3) i uspješno ih klasificirao, no znamenke (9, 9) ipak su ostale spojene u jedan okvir. Vidljivo je sa slike kako je donji završetak znamenke 9 spojen s gornjim dijelom, pa tako vjerojatno klasifikator nije uspio dobiti bolje rezultate koristeći metodu kliznog prozora zbog same nečitljivosti napisane znamenke. Pokazalo se da metodom postprocesiranja sustav gotovo uvijek ispravno pronađe "sumnjive" okvire, i u velikom broju situacija ih uspješno rješava. Označavanjem "sumnjivih" okvira crvenom bojom, korisnik odmah nakon uspješno odrađene lokalizacije i klasifikacije modela, ima vizualnu sugestiju okvira koje bi bilo poželjno ručno pregledati i eventualno napraviti izmjene. Nakon uvođenja podsustava za postprocesiranje, cjelokupni sustav je davao značajno kvalitetnije rezultate na "problematičnim" ulaznim slikama.



**Slika 6.5:** Primjer rada podsustava za pronalaženje i razrješavanje sumnjivih okvira

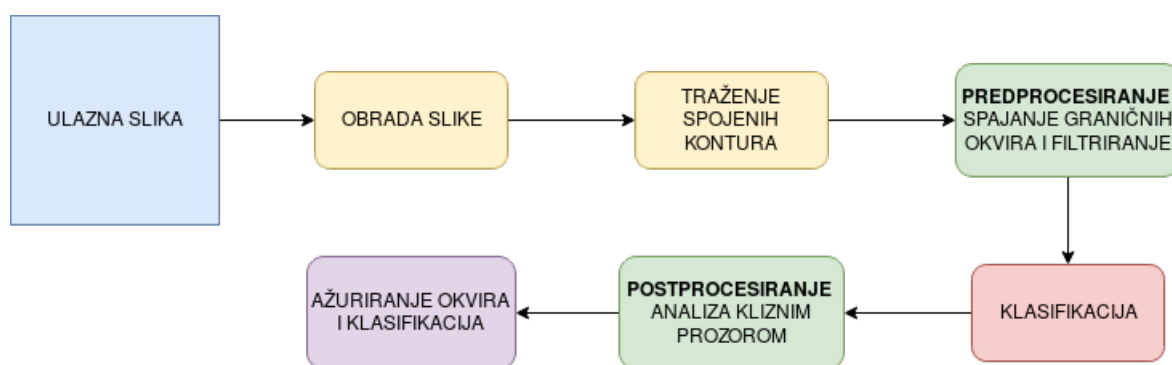
Želi li korisnik promijeniti visinu/širinu okvira ili klasifikacijski broj, dvoklikom na željeni okvir na slici ili unutar popisa svih okvira otvara se dijalog s mogućnošću izmjene. Odmah prilikom izmjenjivanja vrijednosti na grafičkom korisničkom sučelju prikazuju se promjene. Naravno, u bilo kojem trenutku moguće je odustati od izmjena ili potvrditi napravljene izmjene. Prilikom prelaska mišem preko slike, kada se pokaznik nalazi iznad pojedinog okvira on biva "prekriven" transparentnom ljubičastom bojom radi lakše vizualizacije u situacijama kada slika sadrži gusto napisane brojeve gdje se njihovi granični okviri preklapaju. Prilikom pohrane označenih slika za svaku od labeliranih slika pohranjuje se putanja do slike, koordinate gornjeg lijevog ugla svakog okvira oko znamenke, širina, visina okvira i klasifikacijski broj. Analogno, samo u



**Slika 6.6:** Uređivanje postojećeg graničnog okvira

suprotnome smjeru, vrijedi za učitavanje pohranjenih podataka. Ako se u odabranome direktoriju već nalazi slika za koju smo učitali podatke iz prethodno pohranjenog skupa podataka, sustav prilikom odabira iste slike ne vrši lokalizaciju i klasifikaciju znamenaka već automatski učitava podatke o pozicijama i klasifikacijama iz učitano skup podataka kao što je ranije spomenuto.

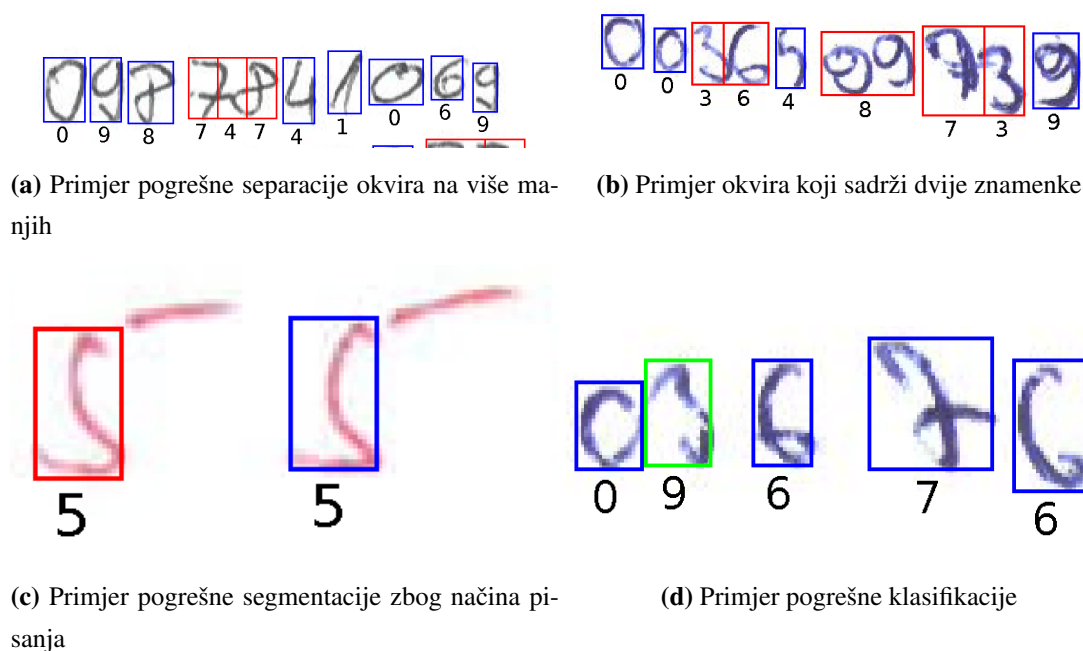
Prilikom označavanja svake od slika, u svrhu generiranja preciznog i konzistentnog skupa podataka moguće je vršiti uvećavanje odnosno umanjivanje slike s faktorom 1.1.



**Slika 6.7:** Tok obrade ulazne slike kroz izgrađeni sustav

## 7. Rezultati

Izgrađeni sustav je pokazao na sakupljenom skupu od nešto više od desetak različitih distribucija sakupljenih rukopisa vrlo dobre rezultate. Na ulaznim uzorcima na kojima su znamenke bile razmaknute, sustav je u velikom postotku uspješno pronalazio granične okvire i klasificirao iste. Nakon izrade postprocesora, značajan napredak se pokazao i na slikama gdje su znamenke vrlo gusto napisane. Prilikom implementacije isprobano je više različitih metoda procesiranja ulazne slike i klasifikatora. Prilikom procesiranja ulazne slike, pokazalo se da stanjivanje kontura *Zhang-Seunovom* metodom ne doprinosi značajnijim rezultatima u radu klasifikatora. Zbog toga prilikom obrade ulazne slike kao što je ranije spomenuto, dilatacija je zadnji korak pri obradi slike. Također, isprobano je više različitih modela s različitim brojem slojeva, aktivacijskim funkcijama, različitim skupovima za učenje i ispitivanje. Model učen samo na skupu za učenje MNIST postigao je bolje rezultate prilikom evaluacije modela na testnome skupu iz istog skupa podataka MNIST, no na stvarnim uzorcima su rezultati bili mnogo lošiji od rezultata dobivenih nad vlastitim skupom za učenje i testiranje. Uz izgrađeni sustav za lokalizaciju i klasifikaciju promatrani su duboki modeli specifični za detekciju objekata na slici. Neki od najpoznatijih takvih modela su konvolucijske neuronske mreže temeljene na regijama (*R-CNN*, *Fast R-CNN*, *Faster R-CNN*, ...) čije već istrenirane modele nad poznatim skupovima podataka možemo pronaći u aplikacijskom programskom sučelju *TensorFlow Object Detection*. Isprobao je jednostavan primjer koristeći model *You only look once* (YOLO) za detekciju objekata, no zaključeno je na testnome problemu da će kvalitetnije svoju zadaću obavljati sustav implementiran u ovome radu. Kao što je ranije spomenuto, u skupu za učenje duboke konvolucijske neuronske mreže bilo je 2371 slika, dok se skup za testiranje sastojao od 402 slike. Baza jest izgrađena od rukom pisanih identifikatora pisanih od strane više različitih osoba te su postignuti rezultati vidljivi u tablici 6.1. Na uzorku od 230 znamenaka odnosno 23 gusto napisana studentska identifikatora, 8 znamenaka je sustav krivo segmentirao dok je 6 znamenaka bilo djelomično dobro segmentirano, no dovoljno dobro kako bi ih klasifikator uspješno klasificirao. Za svaku pogrešno seg-



**Slika 7.1:** Primjer pogrešaka prilikom segmentacije i klasifikacije

mentiranu znamenku sustav je pretpostavio da se radi o pogrešci, označio pripadne granične okvire crvenom bojom i metodom klznog prozora pokušao razriješiti iste.

Na slici 7.1a možemo primijetiti kako podsustav temeljen na analizi kliznim prozorom pogrešno dijeli inicijalni okvir koji je sadržavao obje znamenke. Podsustav je na temelju definiranih veličina kliznih prozora relativno zadovoljavajuće segmentirao znamenku 7, no kako je dio znamenke ostao u drugom dijelu okvira, znamenku 8 je pogrešno segmentirao i klasificirao. Vidljivo je sa slike kako dio koji je klasifikator označio kao znamenku 4 zaista ima konturu sličnu znamenci 4, pa je zbunjenost modela bila relativno mala i podsustav se odlučio za takvu podjelu.

Na slici 7.1b možemo vidjeti situaciju u kojoj je sustav prepoznao da se radi problematičnom okviru, no nije uspješno podijelio okvir na dvije znamenke. Kao što je spomenuto ranije, prva znamenka u okviru je specifično napisana. Donji završetak znamenke 9 je spojen s gornjim dijelom, pa tako klasifikator nije siguran o kojoj se znamenci radi. To je dovelo do veće zbunjenosti klasifikatora i sustav je odustao od podjele okvira na dvije znamenke.

Slika 7.1c prikazuje situaciju u kojoj je gornji horizontalni dio znamenke 5 odvojen od tijela znamenke. Nakon operacije dilatacije dijelovi znamenke i dalje nisu bili povezani pa je sustav horizontalni dio znamenke smatrao šumom. Iako je sustav pogrešno segmentirao znamenku, uspješno je zaključio da se radi o znamenci 5.

Konačno, slika 7.1d prikazuje situaciju u kojoj klasifikator pogrešno klasificira zna-

menku 3. Iz konture znamenke vidljivo je da znamenka ne sadrži specifični središnji dio. Središnji dio znamenke je izravnat što je zbunilo klasifikator i dovelo do zaključka da se unutar okvira nalazi znamenka 9. Vidljivo je da sama znamenka u pojedinim dijelovima nalikuje znamenci 9, pa je zaključak klasifikatora razuman.

Prikazane probleme moguće je ublažiti daljnjim eksperimentiranjem, no u konačnici, implementirani sustav s visokim postotkom uspješnosti rješava lokalizacijske i klasifikacijske probleme rukom pisanih znamenaka odnosno identifikatora.

## 8. Zaključak

Cjelokupan rad se pokazao vrlo zanimljivim. Povezao je područja iz obrade slike, dubokog učenja, teorije informacija, arhitekture sustava, optimizacije i izrade aplikacija s grafičkim korisničkim sučeljem. Kako je svaki od podsustava implementiran samostalno, izradom rada dobio se uvid u mnoge aspekte iz raznih područja. Implementacijom metoda koje se svakodnevno koriste u biblioteci *OpenCV* za obradu slika, osmišljavanjem i implementacijom metoda za predprocesiranje i postprocesiranje pronađenih graničnih okvira, osmišljavanjem arhitekture cjelokupnog sustava a zatim i optimizacijom dodano je znanstveno-istraživačko ruho radu. Mješavinom zaključaka stečenih učenjem klasifikatora i matematičkim pretpostavkama o problemu dobiveni sustav se vrlo dobro nosio s problemima lokalizacije i klasifikacije. Potencijalna unaprjeđenja možemo usmjeriti ka sustavu za postprocesiranje graničnih okvira, odnosno podsustavu zaduženom za pronalazak pogrešno označenih graničnih okvira. Povećanjem skupa za učenje uzorcima različitih autora, sustav za klasifikaciju bi postao robusniji i bolje se nosio sa specifičnim rukopisima. Samim time podsustav koji na temelju entropije i zbunjenosti klasifikatora razrješava potencijalno krivo označene okvire bi se kvalitetnije nosio s navedenim problemom. Eksperimentiranjem nad matematički modeliranim znanjem koristeći različite distribucije rukopisa možemo fino ugađati model i pokušati pronaći optimalne parametre. Samo uvođenje sustava za postprocesiranje sumnjivih graničnih okvira značajno je poboljšalo rad cjelokupnog sustava, te je potreba za ručnom intervencijom korisnika svedena na nisku razinu.

Izradom ovog rada stečen je uvid o algoritmima koji se koriste u poznatim bibliotekama, odnosno kako pojedini algoritmi rade "ispod haube". Istraživački dio približio je probleme s kojima se susreću autori novih algoritama odnosno metoda za obradu slika.

# LITERATURA

- G. Abo Samra i F. Khalefah. Localization of license plate number using dynamic image processing techniques and genetic algorithms. *IEEE Transactions on Evolutionary Computation*, 18(2):244–257, April 2014. ISSN 1089-778X. doi: 10.1109/TEVC.2013.2255611.
- Marko Čupić. *Umjetne neuronske mreže*. ZEMRIS, 2016. URL <http://java.zemris.fer.hr/nastava/ui/ann/ann-20180604.pdf>.
- Bernhard E. Boser i et al. A training algorithm for optimal margin classifiers. U *PROCEEDINGS OF THE 5TH ANNUAL ACM WORKSHOP ON COMPUTATIONAL LEARNING THEORY*, stranice 144–152. ACM Press, 1992.
- D. Ciregan, U. Meier, i J. Schmidhuber. Multi-column deep neural networks for image classification. U *2012 IEEE Conference on Computer Vision and Pattern Recognition*, stranice 3642–3649, June 2012. doi: 10.1109/CVPR.2012.6248110.
- Corinna Cortes i Vladimir Vapnik. Support-vector networks. *Mach. Learn.*, 20(3): 273–297, Rujan 1995. ISSN 0885-6125. doi: 10.1023/A:1022627411411. URL <https://doi.org/10.1023/A:1022627411411>.
- Ian Goodfellow, Yoshua Bengio, i Aaron Courville. *Deep Learning*. MIT Press, 2016. URL <http://www.deeplearningbook.org>.
- Interpolation. Interpolation — Wikipedia, the free encyclopedia, 2019. URL <https://en.wikipedia.org/wiki/Interpolation>.
- Jared Gerschler. The Zhang-Suen Thinning Algorithm: Introduction and applications, 2018. URL <http://jaredgerschler.blog/2018/02/25/the-zhang-suen-thinning-algorithm-introduction-and-applications>.
- Andrej Karpathy. *Convolutional Neural Networks for Visual Recognition*. Stanford University, 2019. URL <http://cs231n.github.io/>.



Y. LeCun, L. Jackel, L. Bottou, A. Brunot, C. Cortes, J. Denker, H. Drucker, I. Guyon, U. Müller, E. Säckinger, P. Simard, i V. Vapnik. Comparison of learning algorithms for handwritten digit recognition. U *INTERNATIONAL CONFERENCE ON ARTIFICIAL NEURAL NETWORKS*, stranice 53–60, 1995.

Yann LeCun, Bernhard E. Boser, John S. Denker, Donnie Henderson, R. E. Howard, Wayne E. Hubbard, i Lawrence D. Jackel. Handwritten digit recognition with a back-propagation network. U D. S. Touretzky, urednik, *Advances in Neural Information Processing Systems 2*, stranice 396–404. Morgan-Kaufmann, 1990. URL <http://papers.nips.cc/paper/293-handwritten-digit-recognition-with-a-back-propagation-network.pdf>.

Yann Lecun, L. D. Jackel, Leon Bottou, Corinna Cartes, John S. Denker, Harris Drucker, Urs Müller, Eduard Säckinger, Patrice Simard, Vladimir Vapnik, i et al. Learning algorithms for classification: A comparison on handwritten digit recognition. U *NEURAL NETWORKS: THE STATISTICAL MECHANICS PERSPECTIVE*, stranice 261–276. World Scientific, 1995.

Otsu's method. Otsu's method — Wikipedia, the free encyclopedia, 2019. URL [https://en.wikipedia.org/wiki/Otsu%27s\\_method](https://en.wikipedia.org/wiki/Otsu%27s_method).

Josip Krapac Siniša Šegvić. *Konvolucijski modeli*. ZEMRIS, 2017. URL <http://www.zemris.fer.hr/~ssegvic/du/>.

R. Yang. Classifying hand written digits with deep learning. U *Intelligent Information Management*, stranice 69–78. Scientific Research Publishing Inc., 2018.

## **Očitavanje rukom pisanih identifikacijskih brojeva temeljeno na dubokim modelima**

### **Sažetak**

Prepoznavanje rukom pisanih znamenaka popularno je od samih ambicioznih početaka strojnog i dubokog učenja. Ovaj rad opisuje sustav koji osim prepoznavanja vrši i lokalizaciju, odnosno vrši detekciju pojedine rukom pisane znamenke. Sustav na ulazu prima sliku rukom pisanih identifikatora koju transformira u binarnu i vrši se podebljanje kontura. Na temelju visine, širine i odnosa između graničnih okvira vrši se spajanje i filtriranje pronađenih komponenti. U fazi postprocesiranja na temelju širine okvira, sigurnosti i entropije odnosno zbunjenosti klasifikatora pronalaze se problematični granični okviri i metodom kliznog prozora pokušavaju se raz riješiti isti. Analiza se vrši koristeći dinamičku veličinu prozora te se na temelju zbunjenosti modela vrši podjela okvira. Sustav je ukomponiran u aplikaciju s jednostavnim i intuitivnim grafičkim korisničkim sučeljem. Problematici granični okviri vizualno se ističu kako bi korisnik lakše uočio i ispravio eventualne pogreške sustava. Omogućeno je uređivanje pronađenih graničnih okvira i pripadnih klasifikacija. Sustav tako omogućava generiranje sve većeg skupa za učenje i ponovno treniranje mreže na novoizgrađenom skupu rukom pisanih identifikatora čime klasifikator postaje još robusniji.

**Ključne riječi:** duboki modeli, konvolucijske neuronske mreže, obrada slike, lokalizacija, klasifikacija, rukom pisani identifikatori, povezane komponente, entropija, metoda kliznog prozora.

## **Deep Models Based Recognition of Student Identifiers**

### **Abstract**

Recognition of handwritten digits is popular from the ambitious beginnings of the machine and deep learning. This paper describes a system that apart from recognition, also performs localization, or performs detection of handwritten digits. The system at the entrance receives an image of handwritten identifiers that is transformed into binary and contours of the identifiers are bolted. Based on the height, width and relationship between the boundary boxes, merging and filtering of the found boxes are performed. In the postprocessing phase based on the width of the box, classifier's confidence and perplexity (entropy), problematic boundary boxes are found and the sliding window method is applied to resolve these boxes. The analysis is done using the dynamic size of the sliding window and based on the perplexity of the model the division of the boundary box is performed. The system is wrapped in an application with a simple and intuitive graphical user interface. The problematic bounding boxes are visually highlighted so that the user can easily detect and resolve possible system errors. Through the graphical interface, it is possible to edit the found boundaries and the corresponding classifications. The system thus enables the generation of an even larger learning dataset and retraining the network on a newly built dataset of handwritten identifiers that make the classifier even more robust.

**Keywords:** deep models, convolutional neural networks, image processing, localization, classification, handwritten identifiers, connected components, entropy, perplexity, sliding window.